

Elektrosztatika

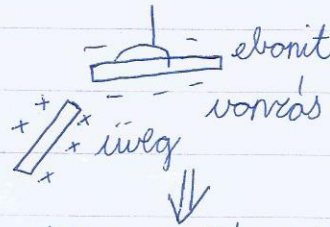
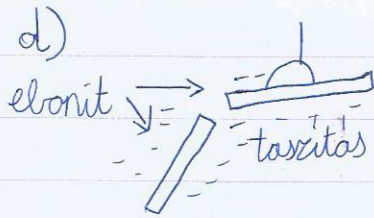
I. Dörzelektromosság, alapjelenségek

1. Kísérletek

a) vatta + szőrmével dörzsölt ebonit: vonzás, majd taszítás (szigetelő)

b) vatta + bőrrel dörzsölt üvegrúd: -||-

c) alufólia + ebonit/üveg: vonzás, majd azonnal taszítás (vezető)

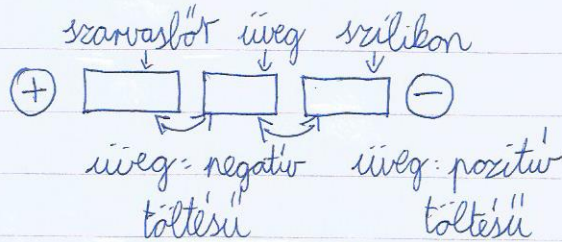


kétféle töltés létezik!

e) LED-es töltéskijelző = valóban kétféle töltés

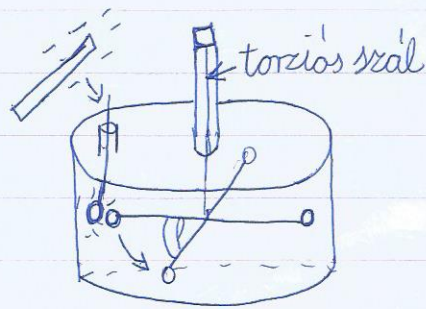
f) A kölcsönható testek töltése függ az anyagtól

Dörzelektromos sor:



g) elektroszkóp } töltés nagyságának kimutatása,
 elektrométer } mérése
 (skalája van)

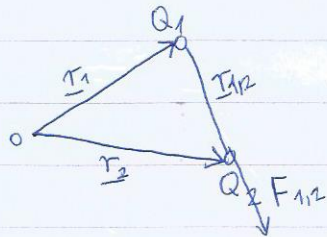
k) Coulomb-mérleg



Tapasztalat: $F \sim Q_1 Q_2, \frac{1}{r^2}$

2. Matematikai megfogalmazás

a) Coulomb-törvény:



$$|F_{12}| = k \frac{Q_1 Q_2}{r_{12}^2}$$

Coulomb-állandó: $k = 8,99 \cdot 10^9 \frac{\text{Nm}^2}{\text{C}^2}$

$[Q] = \text{C (Coulomb)}$ · 2019 nyártól: elemi töltés: $1,602176634 \cdot 10^{-19} \text{C}$

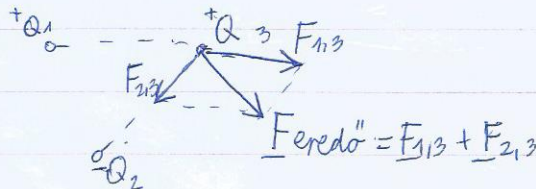
jelölés: vákuum elektromos állandója: (permittivitása)

$$\epsilon_0^{-1} = 4\pi k \rightarrow \epsilon_0 = \frac{1}{4\pi k} = 8,85 \cdot 10^{-12} \frac{\text{C}^2}{\text{Nm}^2} \quad k = \frac{1}{4\pi \epsilon_0}$$

Vektoralisan: $\underline{F}_{12} = k \frac{Q_1 Q_2}{|r_{12}|^2} \cdot \frac{r_{12}}{|r_{12}|}$ egységvektor

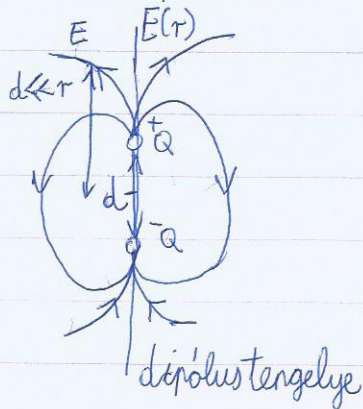
b) Szuperpozíció:

Több-töltés együttes hatása: Newton II. törvénye:



II. Töltéslörclások elektromos tere (mező)

1. Diszkrét, pl.: elektromos dipólus



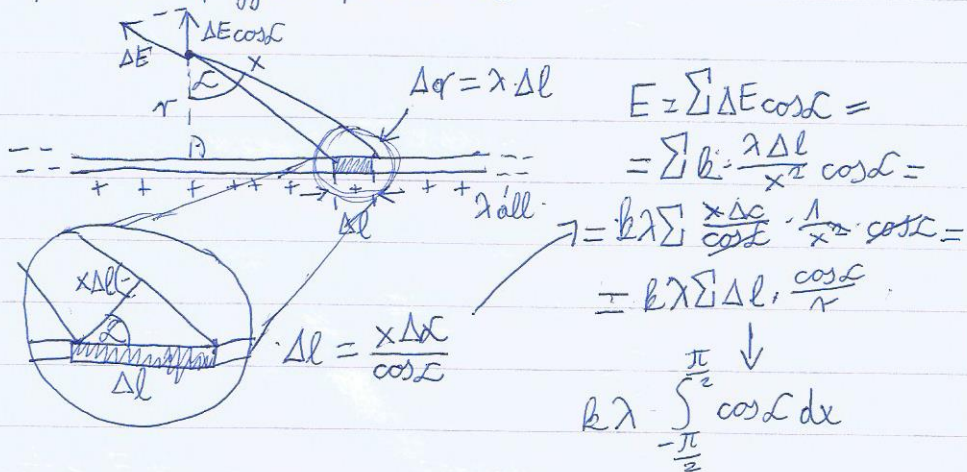
A térerősség a tengelyen =

$$\begin{aligned}
 E(r) &= E_+ - E_- = \\
 &= k \frac{Q}{(r - \frac{d}{2})^2} - k \frac{Q}{(r + \frac{d}{2})^2} = \\
 &= kQ \frac{(r + \frac{d}{2})^2 - (r - \frac{d}{2})^2}{(r - \frac{d}{2})^2 (r + \frac{d}{2})^2} \approx kQ \frac{2rd}{r^3} = \\
 &= 2k \frac{Qd}{r^3} \quad \text{nem Coulomb-mező!}
 \end{aligned}$$

$$\boxed{p = Q \cdot d} \leftarrow \text{elektromos dipólusmomentum}$$

2. Folytonos töltéslörclások

a) vonalmenti töltéslörclás: töltéssűrűség: $\lambda = \lim_{\Delta l \rightarrow 0} \frac{\Delta q}{\Delta l}$
 pl.: hosszú, egyenes pálcá tere:

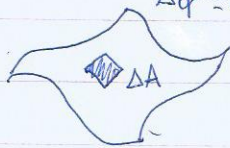


$$\begin{aligned}
 E &= \sum \Delta E \cos \alpha = \\
 &= \sum k \frac{\lambda \Delta l}{x^2} \cos \alpha = \\
 &= k \lambda \sum \frac{x \Delta x}{\cos^2 \alpha} \cdot \frac{1}{x^2} \cos \alpha = \\
 &= k \lambda \sum \Delta l \cdot \frac{\cos \alpha}{r} \\
 &\downarrow \\
 &k \lambda \int_{-\frac{\pi}{2}}^{\frac{\pi}{2}} \cos \alpha dx
 \end{aligned}$$

$$\boxed{E(r) = 2 \frac{k \lambda}{r}} \quad \text{visszatérünk!}$$

b) Felületi:

$$\Delta q = \sigma \cdot \Delta A$$



$$\sigma = \lim_{\Delta A \rightarrow 0} \frac{\Delta q}{\Delta A}$$

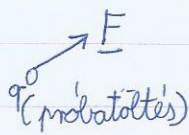
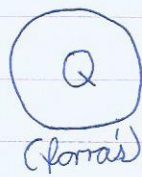
c) Térfogati

$$\Delta q = \rho \cdot \Delta V$$



$$\rho = \lim_{\Delta V \rightarrow 0} \frac{\Delta q}{\Delta V}$$

3. Elektromos térerősség:



a forrás térerőssége
 $|E| \sim q \Rightarrow \underline{E} = \frac{F}{q}$ (térerősségvektor)
 (pontról pontra más)

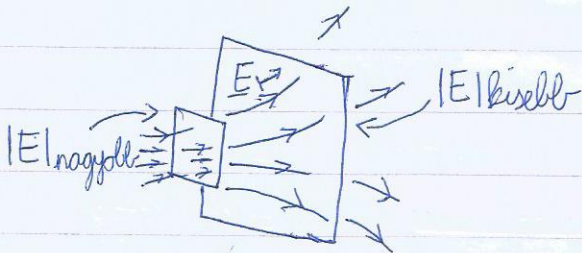
Térerősség: az egységnyi próbatöltésre ható erő
 (forrás töltésmegmaradó képessége)

Mértékegység: $[E] = \frac{N}{C}$

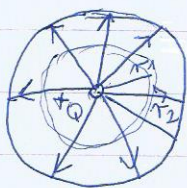
4. Elektromos mező szemléltetése (erővonalak)

Erővonalak:

- bármely pontban E térerősség az erővonal érintője
- az erővonalak sűrűsége (az egységnyi merőleges felületen átmenő erővonalak száma) arányos $|E|$ -vel



- összhangban van-e ez a Coulomb-törvénnyel?

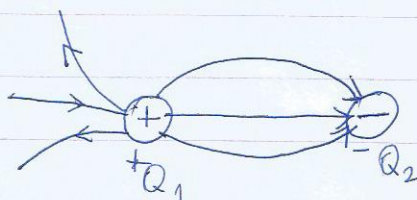


N db erővonal

sűrűsége: $\frac{N}{4\pi r_1^2}$; $\frac{N}{4\pi r_2^2}$

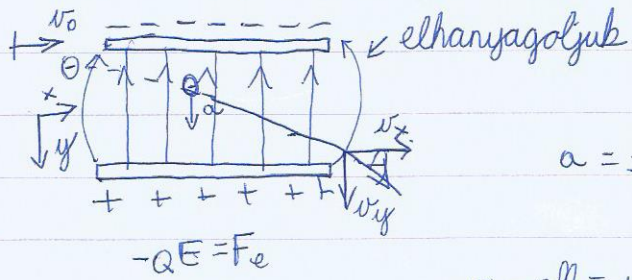
$$\frac{E_1}{E_2} = \frac{\frac{N}{4\pi r_1^2}}{\frac{N}{4\pi r_2^2}} = \frac{\frac{1}{r_1^2}}{\frac{1}{r_2^2}} \Rightarrow E \sim \frac{1}{r^2}$$

- erővonalak mindig \oplus töltésből (vagy ∞ -ből) indulnak és \ominus töltésben (vagy $-\infty$ -ben) végződnek



III. Földesek elektromos térben

1. Ponttöltés homogén térben (E' áll)



$$a = \frac{F_e}{m} = \frac{QE}{m}$$

$$v_x = at = v_0$$

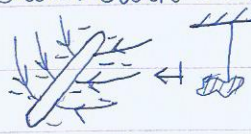
$$v_y = at = \frac{QE}{m} \cdot t$$

$$\left[\tan \alpha = \frac{v_y}{v_x} = \frac{QE}{m} \frac{l}{v_0^2} \right]$$

$$t = \frac{l}{v_x} = \frac{l}{v_0}$$

pl.: CRT-monitor

Kísérletben láttuk (ismétlés):



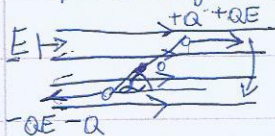
vatta/Al-darabka

Kérdés: Miért vonzza magához a megdörzsölt ebonit / üvegrúd az apró, töltetlen testeket?

töltött rúd

I. Dipólus elektromos térben

1. Homogén mező



- eredő erő: $|\Sigma F| = QE - QE = 0$

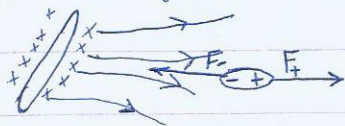
- forgatónyomatok: $M_0 = +QE \frac{l}{2} \sin \alpha - (QE) \frac{l}{2} \sin \alpha$

$$M_0 = QEl \sin \alpha \rightarrow \underline{M_0} = \underline{p} \times \underline{E}$$

\underline{p} : el dipólmomentum

- pl.: H_2O molekula mikróban

2. Inhomogén tér



$F_- > F_+ \Rightarrow$ vonzóerő alakul ki

II. Az elektromos fluxus

1. Az fluxus jelentése

Az erővonalak sűrűsége (az egységnyi, merőleges felületen áthaladó erővonalak száma) arányos $|\underline{E}|$ -vel



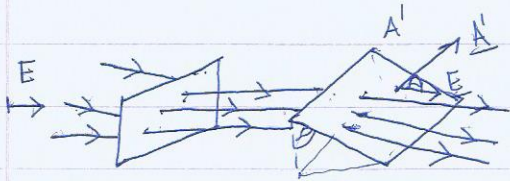
nem egységnyi, hanem A területű felületen

fluxus: $\Psi = A \cdot E$ mennyiség arányos az erővonalak számával

$$[\Psi] = m^2 \frac{N}{C}$$

2, Általánosítás:

a) Ferde felület



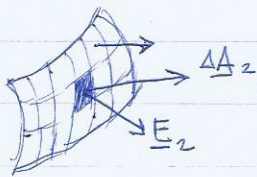
$$A \cos \alpha = A'$$

$$\Psi_A = \Psi_{A'}$$

$$\Psi_A = EA = EA' \cos \alpha = \Psi_{A'}$$

$$\text{vektoriálisan: } \Psi_{A'} = \underline{E} \cdot \underline{A}'$$

b) Görbe felület

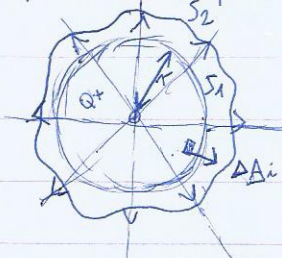


$$\Psi = \sum_i E_i \Delta A_i, \quad \Psi = \sum_i E_i \Delta A_i \cos \alpha$$

(Csupó darabokra osztással)

III. Az elektromos Gauss-törvény

1, Ponttöltés fluxusa zárt felületre



A fluxus az S_1 gömbre:

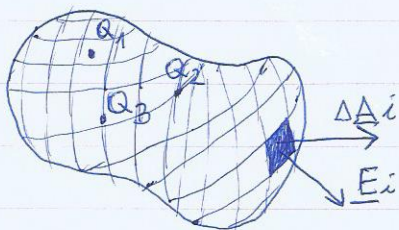
$$\Psi_{S_1} = \sum_i E_i \Delta A_i = k \frac{Q}{r^2} \sum_i \Delta A_i$$

$$\Psi_{S_1} = 4\pi k Q = \frac{Q}{\epsilon_0} = \Psi_{S_2}$$



→ fontos: S_1 és S_2 is zárt

2, Általánosítás:



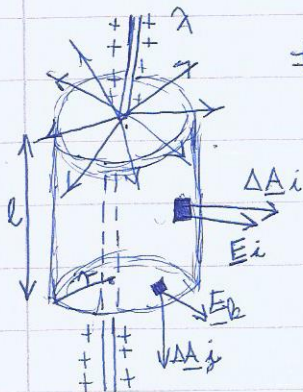
$$\underline{E}_i = \underline{E}_i^{(1)} + \underline{E}_i^{(2)} + \underline{E}_i^{(3)} + \dots$$

$$\Psi_{\text{zárt}} = \sum_i \underline{E}_i \Delta A_i = \sum_i \underbrace{\underline{E}_i^{(1)}}_{Q_1/\epsilon_0} \Delta A_i + \dots$$

$$\text{Gauss-törvény: } \Psi_{\text{zárt}} = \frac{1}{\epsilon_0} \sum Q \text{ bezárt}$$

Zárt felület fluxusa egyenlő a bezárt eredő töltés $1/\epsilon_0$ -szorosával.

3, alkalmazás: hosszú, töltött rúd tere



Gauss: Fluxus: $\mathcal{L} = 0^\circ$ vagy 90°
(nálást) (bőlon)

$$\Psi_{\text{zárt}} = \sum_i \underline{E}_i \Delta A_i$$

$$\Psi_{\text{zárt}} = E(r) \underbrace{\sum_i \Delta A_i}_{\text{rúd felülete}} = E(r) \cdot 2\pi r l$$

Gauss:

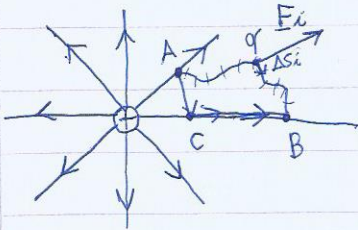
$$\underbrace{E(r) \cdot 2\pi r l}_{\Psi_{\text{zárt}}} = \frac{1}{\epsilon_0} \cdot \underbrace{l \cdot \lambda}_{Q_{\text{belső}}}$$

$$E(r) = \frac{1}{2\pi \epsilon_0} \cdot \frac{\lambda}{r} = \underline{\underline{2k \frac{\lambda}{r}}}$$

IV. az elektromos feszültség és potenciál

k kísérletekben testek jöttek mozgásba \rightarrow az \underline{E} -térnek van munkavégző képessége.

1, Ponttöltés tere



\underline{E} -tér munkája: $\int \underline{E} ds$ (vonalintegrál)

$$W_{AB} = \sum_i \underline{F}_i \Delta s_i = q \sum_i \underline{E}_i \Delta s_i$$

$$W_{AB} = q \sum_i |\underline{E}_i| \underbrace{|\Delta s_i| \cdot \cos \alpha_i}_{\text{sugárirányú elmozdulás}}$$

sugárirányú elmozdulás

$$W_{AB} = W_{ACB}$$

Ponttöltés térben a mező által a próbatöltésen (q) végzett munka független az úttól, csak a végpontoktól ~~függ~~ függ.

2, Feszültség

- Ha egy ponttöltés mezője konzervatív (W_{AB} útfüggetlen), akkor ez több ponttöltés eredő térére is igaz.
- Konzervatív \rightarrow mech. energia megmarad, van potenciális energia!



$$W_{AB} = E_{\text{pot}}^A - E_{\text{pot}}^B = -\Delta E_{\text{pot}}^{AB}$$

Feszültség (def.:

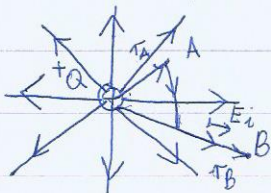
$$U_{AB} = \frac{\Delta E_{\text{pot}}^{AB}}{q} = \frac{E_{\text{pot}}^B}{q} - \frac{E_{\text{pot}}^A}{q} = -\sum \underline{E}_i \Delta \underline{A}_i$$

ΔU_{AB} : az egységnyi, pozitív töltésen a mező által az $A \rightarrow B$ útvonalon végzett munka (-1)-szerese.

b.) Megj.:

mértékegység: $[U_{AB}] = \frac{J}{C} = V$ (volt)

c) Feszültség ponttöltés tereiben



$$W_{AB} = W_{ACB} + W_{CB} = 0 + W_{CB}$$

$$+U_{AB} = +U_{CB} = -\sum \underline{E}_i \Delta \underline{s}_i = -\sum \underline{E}_i \Delta \underline{s}_i$$

$$U_{AB} = -\sum \underline{E}(r) \Delta r \rightarrow -\int_{r_A}^{r_B} \underline{E}(r) dr = -kQ \int_{r_A}^{r_B} \frac{dr}{r^2}$$

$$U_{AB} = -kQ \left(-\frac{1}{r_B} + \frac{1}{r_A} \right) = \frac{kQ}{r_B} - \frac{kQ}{r_A}$$

3. Potencial és pot. energia

feszültség: $U_{AB} = \frac{E_{\text{pot}}^B}{q} - \frac{E_{\text{pot}}^A}{q} = \phi_B - \phi_A$

potencial
(egységnyi + töltés pot. e.)

A potencial nullszintje = tetszőleges (ált. végtelenben)

b) Ponttöltés potencialja

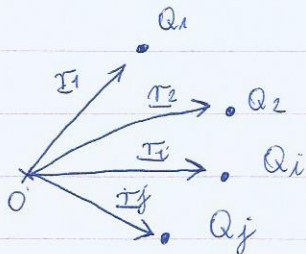
$$\phi(r) = k \frac{Q}{r} \quad (r \rightarrow \infty, \text{ akkor } \phi(r) \rightarrow 0)$$

c) Más megfogalmazás

A potencial a mező P pontjában megadja, hogy az egységnyi poz. töltésen mekkora munkát végez a mező, ha a töltést P-ből a nullszintre (∞ -be) visszük.

I. t. potenciál alkalmazásai

1/ Töltésrendszer elektrosztatikus energiája



az i -edik és j -edik közötti
potenciális energia: $Q_i Q_j = Q_i k \frac{Q_j}{|r_i - r_j|}$

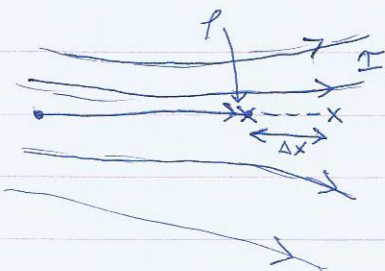
teljes λ teljes potenciális energia =

$$E_{pot} = \frac{1}{2} \sum_{i \neq j} Q_i Q_j = \frac{1}{2} \sum k \frac{Q_i Q_j}{|r_i - r_j|}$$
 (ne számoljunk duplán)

Pé: 2 töltés esetén

$$E_{pot}^{telj} = \frac{1}{2} k \frac{Q_1 Q_2}{r_{12}} + \frac{1}{2} k \frac{Q_2 Q_1}{r_{21}} = k \frac{Q_2 Q_1}{r_{12}}$$

2/ Elektromos térerősség meghatározása potenciálból



$$\phi(x) \approx \sum_n E(x) \Delta s \rightarrow \int_n E(x) ds$$

Fordított művelet: (1D-ben)

$$\phi(x) - \phi(x + \Delta x) \approx E(x) \Delta x$$

$$E(x) \approx \frac{\phi(x) - \phi(x + \Delta x)}{\Delta x} \xrightarrow{\Delta x \rightarrow 0} E(x) = -\frac{d\phi}{dx}$$

(Megj.: 3D-ben bonyolultabb)

II. Elektromos mező vezetők közelében

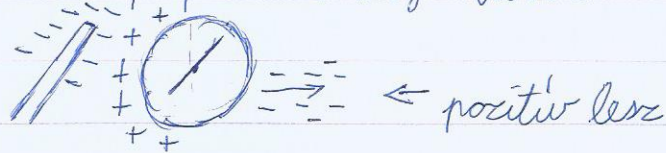
1/ Kísérletek

a) megasztás



kialakult a kétféle töltés, a
pálcá elvétele után separálhatóak

b) egy elektroszkóp feltöltése megosztással

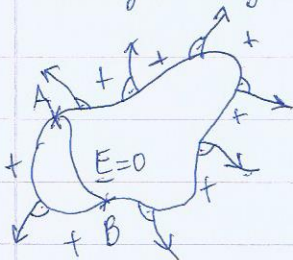


2/ Hővezetetés

anyagok

- vezetők (szabadon elmozduló töltéshordozók)
 - fémek ← elektronok
- szigetelők (nincsenek szabad töltéshordozók)

Tulajdonságok:

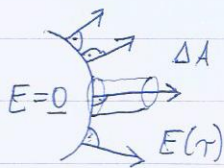


- $E=0$ a fém belsejében
- E térerősségvektor merőleges a felületre
- feszültség az A és B között 0, fémbe
a $\varphi = \text{állandó}$ (ekvipotenciális)
- fémeken a töltések mindig a külső felületen helyezkednek el

(kísérlet: töltés halmozása lyukas gömbből)

3/ Hővezetékmeny

a) felületi töltéssűrűség



Gauss-törvény:

$$\underbrace{E \cdot \Delta A}_{\text{flúkt}} = \underbrace{\frac{1}{\epsilon_0} \sigma \Delta A}_{\frac{1}{\epsilon_0} \cdot Q_{\text{belső}}}$$

$$\sigma = \epsilon_0 \cdot E$$

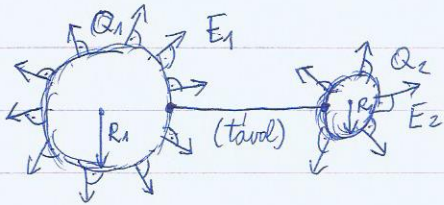
b) külső tér árnyékolása

$E=0 \rightarrow$ üregekben, fém kalitkákban (Faraday-kalitka)
a tér leárnyékolódik

Pé: PC-k burkolata, röntgenkém burkolata, fém hálió villámcsapás autóból,

c) földelés: nagy kiterjedésű vezetővel kötjük össze a fém testeket \rightarrow potenciál kiegyenlítődik \rightarrow föld = 0V potenciálra kerül

d) csúcs hatás: csúcsok, élek közelében óriási elektromos tér alakul ki



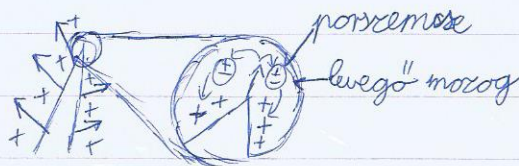
\therefore potenciálok kiegyenlítődnek
 $k \frac{Q_1}{R_1} = k \frac{Q_2}{R_2}$

\therefore térerősség a gömbök felületén:

$$E_1 = k \frac{Q_1}{R_1^2} \quad E_2 = k \frac{Q_2}{R_2^2} \quad \left. \vphantom{E_1} \right\} \frac{E_1}{E_2} = \frac{R_2}{R_1} \rightarrow E \sim \frac{1}{R} \text{ (nagy E-tér)}$$

e) csúcs hatás alkalmazásai kísérletekben:

- "elektromos szél"
- gyertyaláng
- elektromos Seguer - kerék
- füst + lombik \rightarrow elektromos füstmegkötő
- Van de Graaf generátor
- villámhárító
- hajók árbócái \rightarrow "Szent Elmo tüze"



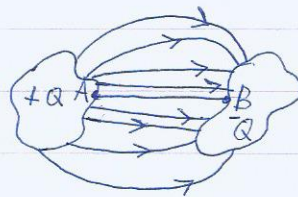
III Kondenzátorok

1) Kapacitás: $U_{AB} \sim Q$ (reálválasztott töltés)

$$C = \frac{Q}{U} \text{ kapacitás}$$

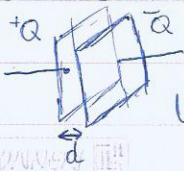
Mgj: C csak a geometriától függ

$$[C] = \frac{C}{U} = F \text{ (farad - Faraday tiszteletére)}$$

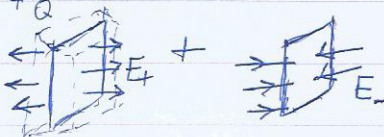


2) Kondenzátorok

a) síkkondenzátor



$$U = E_{eredő} \cdot d$$



Gauss-törvény:

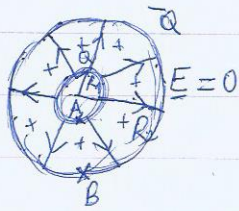
$$E_+ \cdot A \cdot 2 = \frac{1}{\epsilon_0} \cdot Q$$

leért $E_+ = \frac{Q}{2\epsilon_0 A}$

$$E_{eredő} = 2E_+ = \frac{Q}{\epsilon_0 A} \quad \text{kapacitás: } C = \frac{Q}{U} = \frac{Q}{\frac{Q}{\epsilon_0 A} d} = \epsilon_0 \cdot \frac{A}{d}$$

2) gömbkondenzátor

olyan mint a ponttöltés tere

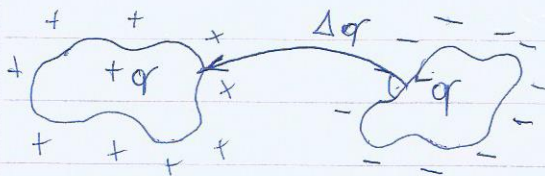


$$U = \varphi_A - \varphi_B = k \frac{Q}{R_1} - k \frac{Q}{R_2} = kQ \frac{R_2 - R_1}{R_1 R_2}$$

$$C = \frac{Q}{U} = \frac{Q}{kQ \frac{R_2 - R_1}{R_1 R_2}} = 4\pi \epsilon_0 \cdot \frac{R_1 R_2}{R_2 - R_1}$$

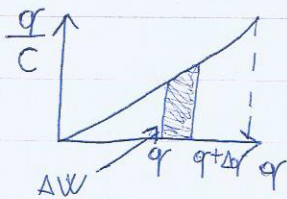
3) A kondenzátor energiája

Töltések szétválasztása közben mekkora munkát végez?



$$\Delta W = \Delta q \cdot U(q) = \frac{q}{C} \Delta q$$

$$W = \sum \Delta W = \sum \frac{q}{C} \Delta q$$



$$W = \frac{1}{2} Q \frac{Q}{C} = \frac{1}{2} \cdot \frac{Q^2}{C} = \frac{1}{2} C U^2 = \frac{1}{2} Q U$$

4) Az elektromos térerősség energiásűrűsége

$$\text{Sík-kondenzátorra: } W = \frac{1}{2} C U^2 = \frac{1}{2} \epsilon_0 \frac{A}{d} \underbrace{(E \cdot d)^2}_U$$

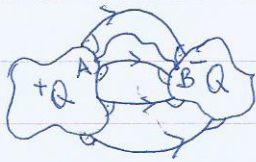
$$W_{mező} = \underbrace{\frac{1}{2} \cdot \epsilon_0}_{W_E} \cdot \underbrace{E^2 \cdot A \cdot d}_{U_{mező}}$$

Elektromos térerősség energiásűrűsége: $W_E = \frac{1}{2} \epsilon_0 E^2$ (skalár)

$$[W_E] = \frac{J}{m^3}$$

Inhomogén térben: $W_{mező} = \sum W_E \cdot \Delta V \rightarrow \int W_E dV$

Ismétlés:



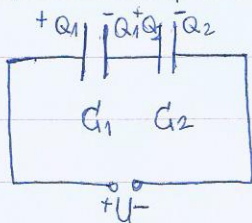
kapacitás: $C = \frac{Q}{U_{AB}}$ $[C] = F$

(csak a geometriától függ)

Pl.: síkkondenzátorok: $C = \epsilon_0 \frac{A}{d}$

I. Kondenzátorok kapcsolása

1/ Soros kapcsolás

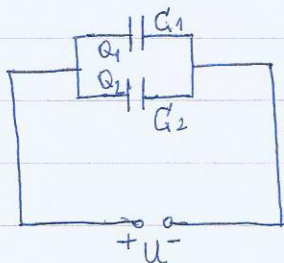


$$U_1 = \frac{Q_1}{C_1}, U_2 = \frac{Q_2}{C_2}, Q_1 = Q_2$$

$$U = U_1 + U_2 = \frac{Q}{C_1} + \frac{Q}{C_2} = Q \left(\frac{1}{C_1} + \frac{1}{C_2} \right)$$

$$\frac{1}{C_{eredo}} = \frac{1}{C_1} + \frac{1}{C_2} + \dots$$

2/ Párhuzamos kapcsolás



$$U_1 = \frac{Q_1}{C_1}, U_2 = \frac{Q_2}{C_2}, U_1 = U_2 = U$$

Teljes töltés:

$$Q = Q_1 + Q_2 = C_1 U + C_2 U = (C_1 + C_2) U$$

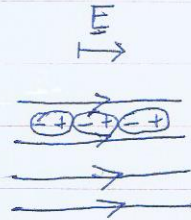
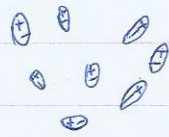
$$C_{eredo} = C_1 + C_2 + \dots$$

II. Dielektrikumok (szigetelők)

1/ Kísérlet: kondenzátor kapacitása nő, ha szigetelőt (üveg, bakelit, papír) helyezünk be.

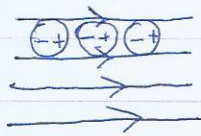
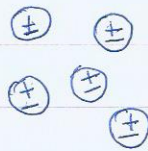
2.1 Szigetelők:

a) Poláris (homogén)



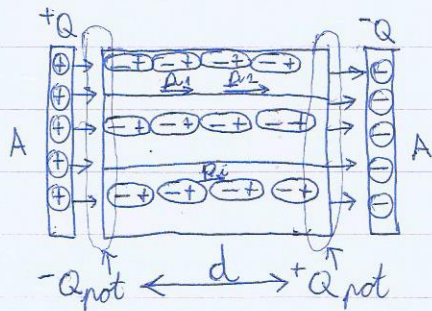
rendeződs,
dipólusláncok

b) Nem poláris



indukált dipólok,
rendeződs,
dipólusláncok

3/ Elektromos polarizáció



Térfogati dipólusmomentum - "sűrűség"-
polarizáció: $P = \frac{\sum p_i}{V}$ $[P] = \frac{Cm}{m^3} = \frac{C}{m^2}$

Mérések szerint: $P \sim E$

$$P = \epsilon_0 \chi \cdot E$$

anyag állandó, susceptibilitás
(dimenziótlan)

4/ Kapacitás dielektrikum esetén

$$\text{Eredő dipólusmomentum: } P = \sum p_i = Q_{\text{pot}} d \quad (1)$$

$$\text{másféleképpen: } P = P \cdot A \cdot d \quad (2)$$

$$(1) \& (2): Q_{\text{pot}} = P \cdot A = \epsilon_0 \chi E A$$

$$\text{Gauss-törvény: } \underbrace{EA}_{\Psi_{\text{zár}}} = \frac{1}{\epsilon_0} (Q - Q_{\text{pot}}) \rightarrow Q = \epsilon_0 E A (1 + \chi)$$

$$\text{Kapacitás: } \left[C = \frac{Q}{U} = \frac{Q}{Ed} = \epsilon_0 \frac{A}{d} (1 + \chi) = \epsilon_0 \epsilon_r \frac{A}{d} \right]$$

ϵ_r : relatív permittivitás

5/ Megjegyzések:

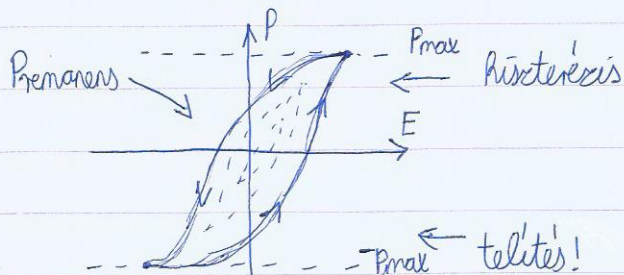
a) Szigetelő átütési szilárdsága: E_{max}

$$Pl.: \text{száraz levegő} = 21 \frac{kV}{cm}$$

$$PVC: 100 - 300 \frac{kV}{cm}$$

$$\text{polisztirol: } 220 - 500 \frac{kV}{cm}$$

b) Remanens polarizáció! $P \sim E$ csak kis terekre igaz!



Kísérlet: Leydeni palack

c) kapacitív érzékelők (érintő kijelző)

- számítógép billentyűzetek

III. Elektromos áram

1/ áramerősség

$$\frac{I}{\rightarrow (A) \rightarrow}$$

Egy adott keresztmetszeten egységnyi idő alatt átáramló töltésmennyiség:

$$I = \lim_{\Delta t \rightarrow 0} \frac{\Delta Q}{\Delta t} = \dot{Q}$$

iránya: pozitív töltések áramlási iránya (technikai áramirány)

$$[I] = \frac{C}{s} = A \text{ (amper) SI-alapegység}$$

típusos értékek: - ingerület: $0,01 \mu A$

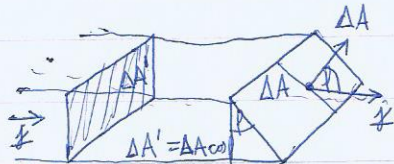
- mérőműszerek: $1 \mu A$

- villám: $10^4 A$

2/ Áraműrűség:

egyszerű: $j = \frac{I}{A}$ $[j] = \frac{A}{m^2}$

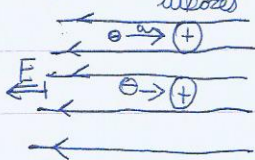
Pontosabban:



$I = j \cdot \Delta A \cdot \cos \theta = j \cdot \Delta A'$
 áraműrűség-vektor

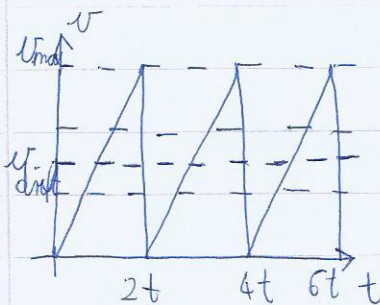
IV. átvizetős fémekben:

1/ Drude-modell



elektron gyorsulása két ütközés között:

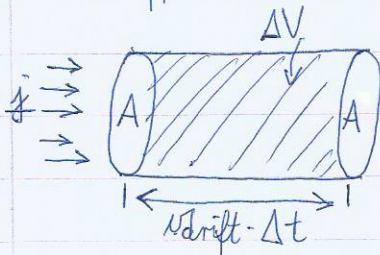
$E_{\text{eff}} = m a \rightarrow a = \frac{E_{\text{eff}}}{m}$, de $2t$ időnként ütközik az ionokkal. Ez rugalmatlan (energia disszipálódik)



Sodródási sebesség:

$v_{\text{drift}} = \frac{1}{2} v_{\text{max}} = \frac{1}{2} a 2t = \frac{E_{\text{eff}} t}{m}$
 relaxációs idő

2/ Differenciális Ohm-törvény



$\Delta V = A \cdot v_{\text{drift}} \Delta t$
 $\Delta N = n \cdot \Delta V = A n v_{\text{drift}} \cdot \Delta t$
 elektronűrűség

áramerősség: $I = \frac{\Delta Q}{\Delta t} = q \frac{\Delta N}{\Delta t} = q A n v_{\text{drift}}$

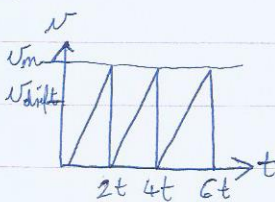
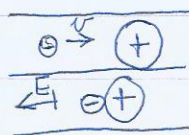
áraműrűség:

Diff. Ohm-tör. $j = \frac{I}{A} = q n \cdot v_{\text{drift}} = \frac{q^2 n}{m} \cdot t \cdot E \sim E$
 áll.

$[j = \sigma E]$ $\sigma = \text{vezetőképesség}$ $\sigma = \frac{1}{\xi} \leftarrow \text{fajlagosellenállás}$

Ismétlés: differenciális Ohm-törvény

Drude-modell:

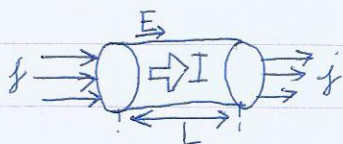


Differenciális Ohm-törvény:

$$\vec{j} = \sigma \cdot \vec{E} = \frac{1}{\rho} \vec{E}$$

I. (Integrális) Ohm-törvény

1/ Egyenes vezető:



$$\left. \begin{aligned} I &= jA \\ U &= E \cdot L \end{aligned} \right\} \frac{U}{I} = \frac{E \cdot L}{\frac{j}{A}} = \rho \cdot L \cdot A^{-1}$$

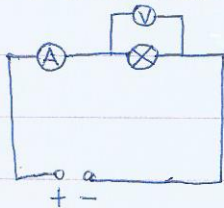
(függ: - anyagi minőség
- geometria)

Tehát: $\left[\frac{U}{I} \right] = \text{áll.} = R = \rho \frac{L}{A} \rightarrow U = RI$
 $[R] = \frac{V}{A} = \Omega \text{ (ohm)}$

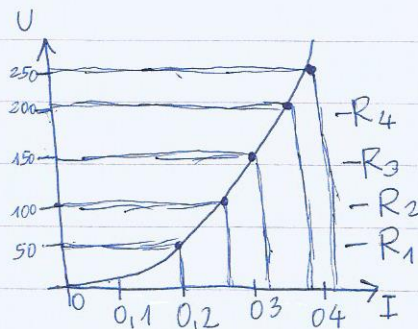
Vigyázat! Nem mindig igaz! (pl.: izzólámpa)

2/ Ellenállás hőmérsékletfüggése

a) Kísérlet:



| U (V) | I (A) |
|-------|-------|
| 50 | 0,20 |
| 100 | 0,27 |
| 150 | 0,32 |
| 200 | 0,38 |
| 230 | 0,41 |



R nő, ha U vagy I nő.

b) fémek: $T \uparrow \rightarrow \tau \text{ csökken} \rightarrow R \uparrow$

bizonyos tartományban: $\rho(T) = \rho_0 [1 + \alpha(T - T_0)] \leftarrow \text{Platina}$

Ellenállás.

II. Joule törvénye:

Mennyi energiát veszít az elektron az ütközések során?

Időegységként: $P = \frac{dW}{dt} = \frac{U dq}{dt} = U \cdot I \leftarrow$ a mérő által az e^- -on végzett munka teljesítménye

Ez mind elveszik az ütközésekben (drift = áll.)

Hőteljesítmény: $P_{\text{Joule}} = U I = R I^2 = \frac{U^2}{R}$ pl.: vasoló, mérülőforraló, ohmikus vezető

$$[P] = \frac{J}{s} = W$$

III. Egyenáramú áramkörök

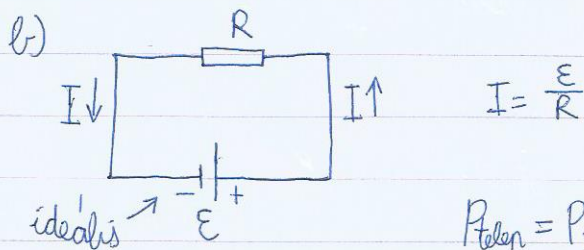
1/

a) feszültségforrás (telep): $\begin{array}{c} + \\ | \\ - \end{array} \quad \begin{array}{c} + \\ | \\ - \end{array}$

- sarkai közötti feszültség terheletlen állapotban: üresjárási feszültség (\mathcal{E})

- ideális telep: feszültsége terhelte állapotban is = \mathcal{E}

b)

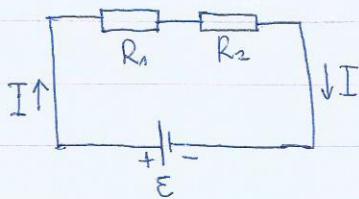


$$I = \frac{\mathcal{E}}{R}$$

$$P_{\text{telep}} = P_{\text{Joule}} = R I^2 = \frac{\mathcal{E}^2}{R}$$

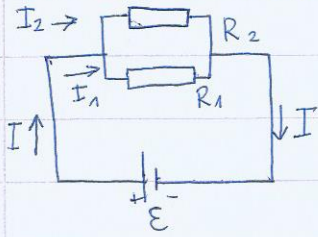
2/ Ellenállások kapcsolása

a) Soros kapcsolás



$$\left. \begin{array}{l} U_1 = R_1 \cdot I, \quad U_2 = R_2 \cdot I \\ \mathcal{E} = U_1 + U_2 = \underbrace{(R_1 + R_2)}_{R_{\text{soros}}} I \end{array} \right\} \left[R_{\text{soros}} = R_1 + R_2 + \dots \right]$$

b) Párhuzamos kapcsolás:

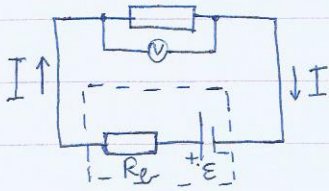


$$\left. \begin{aligned} U_1 = R_1 I_1, U_2 = R_2 I_2 \\ \varepsilon = U_1 = U_2 \\ I = I_1 + I_2 \end{aligned} \right\} \begin{aligned} I &= \frac{\varepsilon}{R_1} + \frac{\varepsilon}{R_2} \\ I &= \varepsilon \left(\frac{1}{R_1} + \frac{1}{R_2} \right) \end{aligned}$$

$$\boxed{\frac{1}{R_{\text{párh}}} = \frac{1}{R_1} + \frac{1}{R_2} + \dots}$$

3) Valódi telepek - a belső ellenállás

$R \leftarrow$ terhelőellenállás

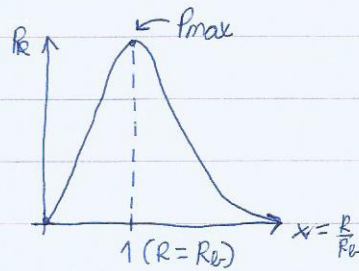


$$\left[\begin{aligned} I &= \frac{\varepsilon}{R + R_e} \\ U_{\text{kapocs}} &= RI = \frac{R}{R + R_e} \cdot \varepsilon < \varepsilon \end{aligned} \right]$$

t terhelőellenállás teljesítménye:

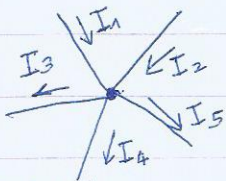
$$P_R = RI^2 = \frac{R}{(R + R_e)^2} \cdot \varepsilon^2 = \frac{\varepsilon^2}{R_e} \cdot \frac{R}{R^2 + R + R_e + 2}$$

$$P_R = \frac{\varepsilon^2}{R_e} \left(x + \frac{1}{x} + 2 \right)^{-1}, \text{ ahol } x = \frac{R}{R_e}$$



IV. Kirchhoff törvényei

1/ Csomóponti törvény (I.t.v.)



kifolyó: +
befolyó: -

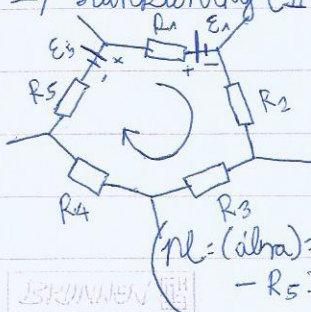
Egy csomóponton be- és kifolyó áramerősségek

előjeles összege nulla: $\sum_k I_k = 0$

pl.: az ábra: $I_1 + I_2 - I_3 - I_4 - I_5 = 0$

oka: töltésmegmaradás

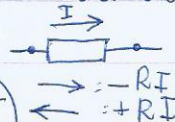
2/ Huroktörvény (II.t.v.)



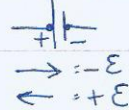
Zárt hurokokra: $\sum_k U_k = 0$

oka: konzervatív mező

előjelek: ellenállás

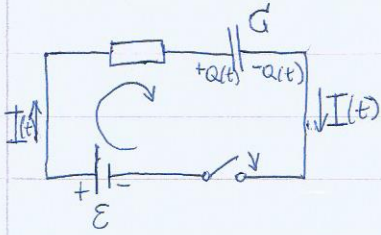


telep



(pl.: az ábra): $-R_1 I - \varepsilon_1 - R_2 I_2 + R_3 I_3 + R_4 I_4 - R_5 I_5 + \varepsilon_5 = 0$

V. Kondenzátor töltődése:



Kuroktörvény:

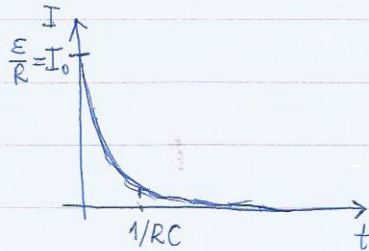
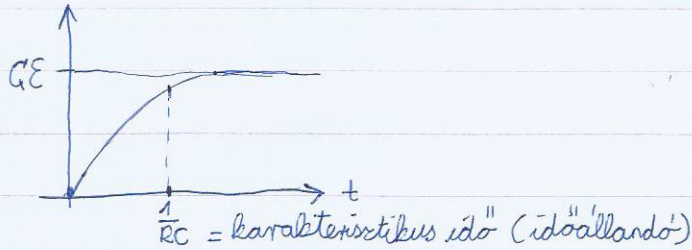
$$-RI - \frac{Q(t)}{C} + \varepsilon = 0$$

$$I = \frac{dQ}{dt} \text{ (áramerősség def.)}$$

$$\text{ezekből: } \left[\frac{dQ}{dt} = -\frac{1}{RC}(Q(t) - C\varepsilon) \right] \rightarrow Q(t) = C\varepsilon(1 - e^{-\frac{t}{RC}})$$

$$I(t) = \frac{\varepsilon}{R} \cdot e^{-\frac{t}{RC}}$$

ábrázolás:



Mágnesesség

a) Általános tapasztalatok:

- E-D pólusok
- Bizonyos anyagok mágnesesítőek
- Föld mágnesessége



b) Mágneses terek kölcsönhatása elektromos árammal: áramjárta vezető testre forgatónyomaték hat.

Mágneses tér matematikai leírása

Definíció: mérési módszerrel

mérőeszköz: áramjárta vezető keret

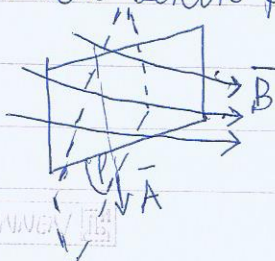
(A: felület normálvektora, B: mágneses tér iránya (indukcióvektora))

Stabil egyensúlyi helyzetben a keret 'A' vektora a mágneses tér irányába mutat:



áramjárta keretre ható forgatónyomaték

Kitérített keretre forgatónyomaték hat:

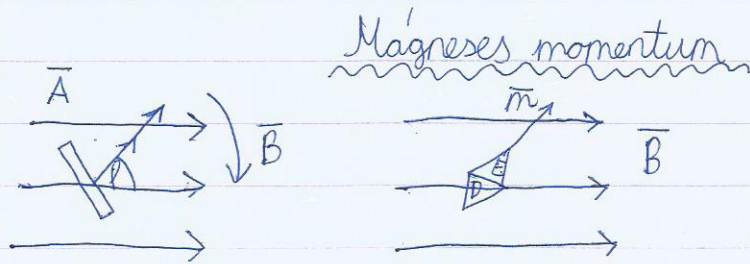


$$\left. \begin{aligned} M &\sim I \\ M &\sim A \\ M &\sim \sin \varphi \end{aligned} \right\} M \sim I \cdot A \cdot \sin \varphi$$

Maximális forgatónyomaték akkor van, ha $\sin \varphi = 1 \Rightarrow \vec{A} \perp \vec{B}$

$$|\vec{B}| = \frac{M_{\max}}{A \cdot I} \leftarrow \text{mágneses indukcióvektor nagysága}$$

$$[\vec{B}] = \frac{Nm}{m^2 A} = \frac{N}{mA} = T \text{ (Tesla)}$$



Homogén mágneses térbe helyezett áramjárta keretre ható forgatónyomaték: $\vec{M} = I \vec{A} \times \vec{B}$

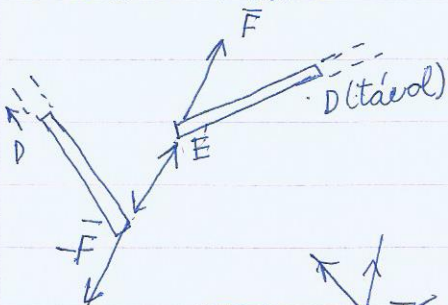
\vec{m} : keret mágneses momentuma

$$\vec{m} = I \vec{A}$$

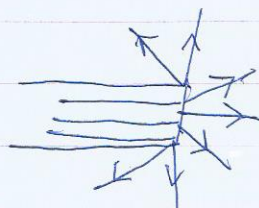
$$\vec{M} = \vec{m} \times \vec{B} \quad (\vec{M} = \vec{P} \times \vec{E})$$

analógia: \vec{P} elektromos dipólra ható forgatónyomaték \vec{E} elektromos térben

Coulomb kísérlet:

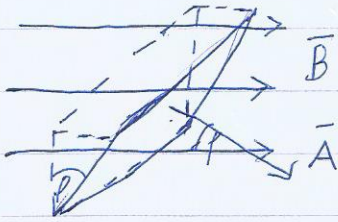


2. polusok közötti kölcsönhatás
 $\propto \frac{1}{r^2}$ -el arányos



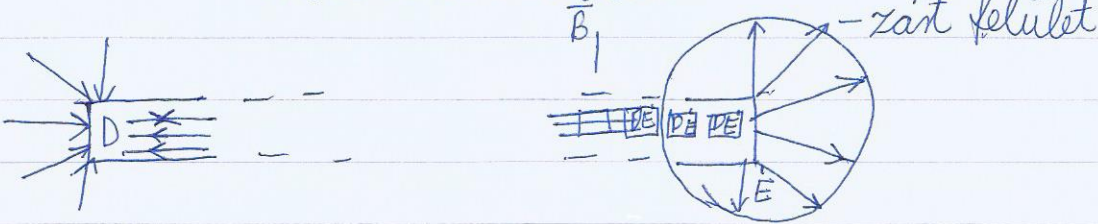
\leftarrow mágneses tér erővonalai

Mágneses fluxus



$$\Phi_B = |\vec{B}| \cdot |\vec{A}| \cdot \cos \varphi = \vec{B} \cdot \vec{A}$$

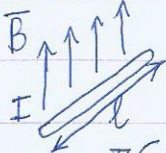
Mágneses Gauss törvény



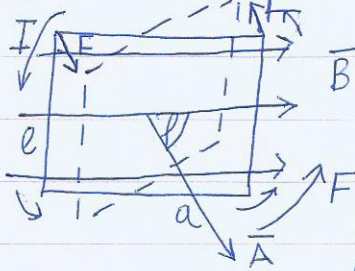
Zárt felület mágneses fluxusa zérus.
 $\Phi_{B \text{ zárt}} = \sum \vec{B} \cdot d\vec{A} = 0$

transzjáta vezetékre ható erő mágneses térben (Lorentz-erő)

Kísérlet: ha $\vec{B} \perp \vec{l}$ akkor $\vec{F} \perp \vec{B}$ $\vec{F} \perp \vec{l}$



$|\vec{F}| = ?$ Keretre ható forgatónyomatok



$$M = I \cdot A \cdot B \cdot \sin \varphi \quad (\vec{m} = I \vec{A} \times \vec{B})$$

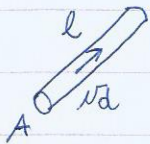
$$M = I \cdot a \cdot l \cdot B \cdot \sin \varphi$$

Ferőpár forgatónyomatoka

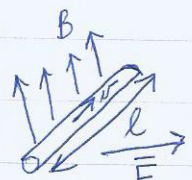
$$M = \frac{a}{2} \sin \varphi F + \frac{a}{2} \sin \varphi F = a \cdot F \cdot \sin \varphi$$

$$|\vec{F}| = I \cdot l \cdot B \quad \leftarrow \text{Lorentz-erő} \rightarrow \quad \vec{F} = I \cdot \vec{l} \times \vec{B}$$

Mozgó töltésekre ható Lorentz-erő:



Drude modell $\rightarrow I = A \cdot n \cdot q \cdot v_d$
 az egységnyi felületen lévő töltéshordozók száma \cdot mozgási sebessége \cdot töltése

$$n = \frac{N}{A \cdot l} \quad I = A \cdot \frac{N}{A \cdot l} \cdot q \cdot v_d = \frac{N}{l} \cdot q \cdot v_d$$


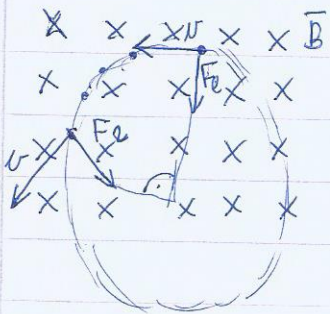
$$F = I \cdot l \cdot B = \frac{N}{l} \cdot q \cdot v_d \cdot l \cdot B \Rightarrow |F| = N \cdot q \cdot v_d \quad (\text{teljes keresztetkire hat})$$

↓

1 db-töltésre: $|F| = q \cdot v \cdot B$ erő hat

$$\boxed{\vec{F} = q \cdot \vec{v} \times \vec{B}}$$

Töltések mozgása homogén mágneses térben



$$\vec{F}_c = m \cdot \vec{a}_c \quad \vec{v} \perp \vec{B}$$

$$q \cdot v \cdot B = m \cdot \frac{v^2}{r}$$

$$r = \frac{m \cdot v}{q \cdot B} \quad \text{a körpálya sugara}$$

$$\text{Periódusidő} = T = \frac{2\pi r}{v} = \frac{2\pi m}{q \cdot B}$$

$$\omega = \frac{2\pi}{T} = q \cdot \frac{B}{m} \quad -k$$

Alkalmazásuk =

- sebességvüro

$$E \cdot q = q \cdot v \cdot B$$

$$F_e = F_c$$

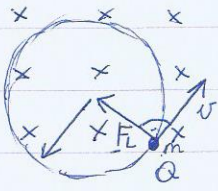


- tömegspektrométer

- ciklotron részecskegyorsító

Ismétlés = mozgó töltésre ható erő B-térben

Speciális esetek = $\underline{v} \perp \underline{B}$



Lorentz-erő:

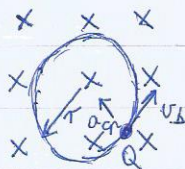
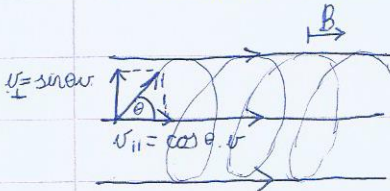
$$\underline{F}_L = q \underline{v} \times \underline{B}$$

$$\underbrace{q \underline{v} \times \underline{B}}_F = m \underbrace{\frac{v^2}{r}}_a$$

pályasugár: $r = \frac{mv}{qB}$

periódusidő: $T = \frac{2\pi r}{v} = 2\pi \cdot \frac{m}{qB}$

Általános eset: ($\underline{v} \nabla \underline{B}$)



pályasugár:

$$|F_L| = q v B \sin \theta$$

$$F_L = m \frac{v_{\perp}^2}{r} = m \frac{v^2 \sin^2 \theta}{r}$$

$$\left[r = \frac{mv \sin \theta}{qB} \right], T = 2\pi \frac{m}{qB}$$

$$p = T v_{\perp} = T v \cos \theta = 2\pi \frac{mv}{qB} \cdot \cos \theta$$

- fókuszálás e⁻-mikroszkópban
- Van Allen övek, sarki fény

I. áramok által beltett mágneses mező

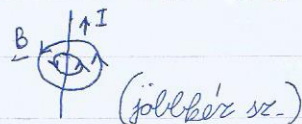
1/ Kísérletek: - Oersted-kísérlet

a) az áram mágneses teret belt

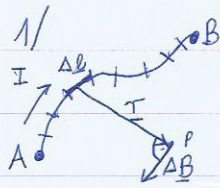
b) vasvesszők + hosszú, egyenes vezető mágneses tere

2/ Megfigyelések:

- indukcióvonalak zártak - B-tér a vezetőhöz közelebb erősebb
- forrásmentes ($\nabla \cdot \underline{B} = 0$)
- B-mező örvényes (potenciál nincs)



II. Matematikai leírás



$\Delta B \perp \Delta l$ és \perp síkjára

Biot-Savart-törvény:

$$\Delta B = \frac{\mu_0}{4\pi} \cdot \frac{I \Delta l \times r}{|r|^3}$$

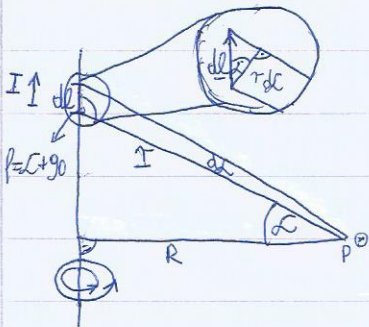
$$\mu_0 = 4\pi \cdot 10^{-7} \frac{Vs}{Am}$$

(vákuum mágneses permeabilitása)

$$|\Delta B| \sim \frac{1}{r^2}$$

$$B_{eredő} = \sum \Delta B = \frac{\mu_0 I}{4\pi} \sum_A^B \frac{\Delta l \times r}{|r|^2}$$

2. Általánosítás: hosszú, egyenes vezető mágneses tere



$$|dB| = \frac{\mu_0 I}{4\pi} \cdot \frac{|dl| \cdot r \cdot \sin(90^\circ + \alpha)}{r^3}$$

$$|dl| = \frac{r d\alpha}{\cos \alpha} = \frac{R d\alpha}{\cos^2 \alpha}$$



$$R = r \cos \alpha \rightarrow r = \frac{R}{\cos \alpha}$$

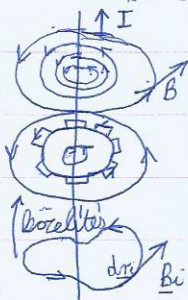
$$dB = \frac{\mu_0 I}{4\pi} \cdot \frac{R d\alpha}{\cos^2 \alpha} \cdot \cos \alpha \cdot \frac{\cos^2 \alpha}{R^2} = \frac{\mu_0 I}{4\pi R} \cos \alpha d\alpha$$

integrálás:

$$B_p = \int dB = \frac{\mu_0 I}{4\pi R} \int_{-\frac{\pi}{2}}^{\frac{\pi}{2}} \cos \alpha d\alpha = \frac{\mu_0 I}{4\pi R} [\sin \alpha]_{-\frac{\pi}{2}}^{\frac{\pi}{2}} = \frac{\mu_0 I}{4\pi R} (1 - (-1))$$

$$\left[B_p = \frac{\mu_0 I}{2\pi R} \right] \leftarrow \text{hosszú, egyenes vezetőre}$$

3. Megjegyzés:



észrevétel: $B \sim \frac{1}{R} \rightarrow B \cdot 2\pi R = \mu_0 I$

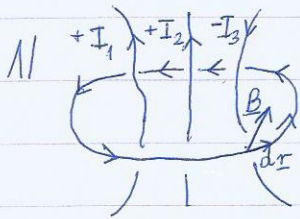
Általánosítás:

(zárt görölére) $\sum B_i \Delta r_i = \mu_0 I$

$$\sum B_i \Delta r_i = \sum \frac{\mu_0 I}{2\pi r} \cdot r \Delta \varphi \cdot \cos 0^\circ = \frac{\mu_0 I}{2\pi} \sum \Delta \varphi$$

$$\sum B_i \Delta r_i = \mu_0 I \text{ (zárt görölére)}$$

III. Ampère - féle gerjesztési törvény



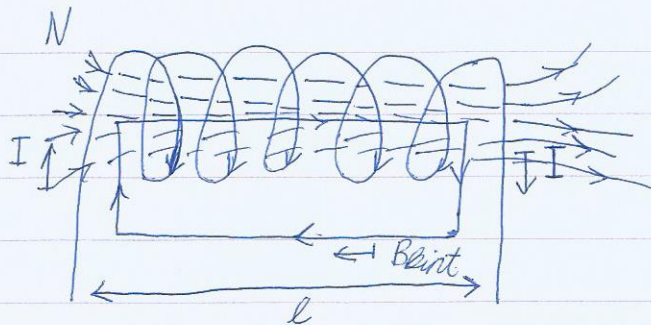
$$\oint \mathbf{B} \cdot d\mathbf{l} = \mu_0 \sum I \quad \leftarrow \text{zárt görbe}$$

\mathbf{B} mágneses indukcióvektor tetszőleges, zárt görbe vett vonalintegrálja egyenlő a zárt görbe illesztett felületen átfolyó áramok összegének μ_0 -szorosával.

2/ Szolenoid mágneses tere

Kísérlet, megfigyelés:

- tekercsen belül B erős
- tekercsen kívül B gyenge (elhanyagolható)



Ampère - törvény:

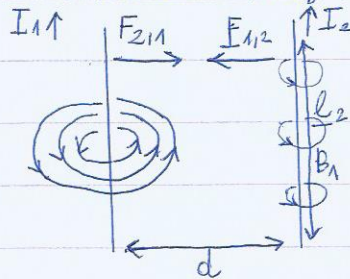
$$B_{\text{bent}} \cdot l + \cancel{B_{\text{bent}} \cdot l} = \mu_0 \cdot NI$$

$\ll B_{\text{bent}}$

$$\boxed{B_{\text{bent}} = \mu_0 \cdot \frac{NI}{l}}$$

I. Áramjárta vezetők kölcsönhatása

Kísérletek: mágneses riga, összeugró tekercs

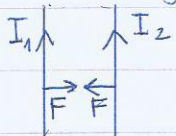


$$B_1 = \frac{\mu_0 \cdot I_1}{2\pi d}$$

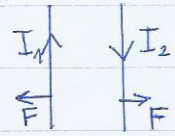
$$|F_{112}| = I_2 \cdot |l_2 \times B_1| = I_2 l_2 B_1 = \frac{\mu_0 I_1 I_2}{2\pi d} \cdot l_2$$

Belátható: $F_{112} = -F_{211}$

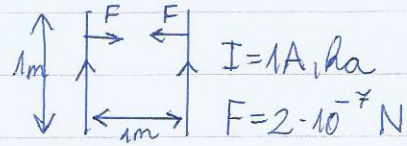
Vonzás:



Taszítás:



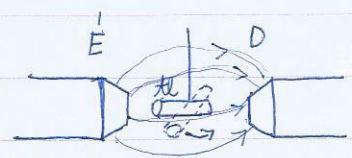
Megjegyzés: amper definíció →



II. Anyagok mágneses tulajdonságai

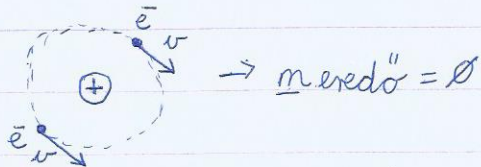
- Minden anyag mutat valamilyen mágneses viselkedést
- Az anyagok 3 fő csoportba oszthatók:
 - diamágnesek (bizmut, üveg, folyékony N₂)
 - paramágnesek (alumínium, platina, folyékony O₂)
 - ferromágnesek (Fe, Co, Ni, egyéb ötvözetek)

- Kísérlet:

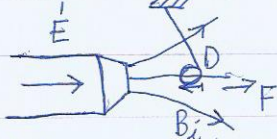


1. Diamágnesség

- Csak kvantummechanikailag érthető meg
- Normális ($B=0$) állapotban nincs a részecskének mágneses momentuma



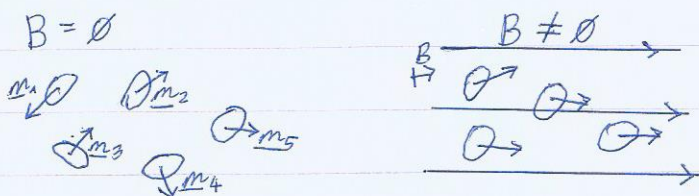
- A kisebb térbe (felé) mutató erő hat rájuk:



- Mágneses térbe helyezve a mágnesesség iránya a külső térrel ellentétes irányba mutat

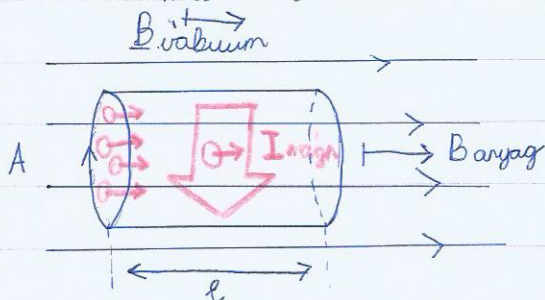
2. Paramágnesség

- Részecskéi $B=0$ esetén is eredő mágneses momentummal rendelkeznek
- Ezek a homogénia miatt rendezetlenek, de külső B-térrel berendezhetők



- Analógia: dielektrikumokban a poláros molekulák rendeződnek

3. Matematikai leírás



Mágnesesség:

(mágn. dipólmomentum sűrűség)

$$M = \frac{\sum m_i}{V} = \frac{\text{eredő mag. dipólmomentum}}{\text{térfogat}}$$

$$|M| = \frac{I_{mag} A}{A \cdot l} = \frac{I_{mag}}{l}$$

tr. anyagleli B-tér: $|B_{\text{anyag}}| = |B_{\text{vákuum}}| + \mu_0 \cdot \frac{N \cdot I_{\text{magn}}}{L}$ ← molekoid arológia IM

$$B_{\text{anyag}} = B_{\text{vákuum}} + \mu_0 \cdot M$$

$\mu_0 H$, itt $H :=$ mágneses térerősség $[H] = \frac{A}{m}$

Kapcsolat M és H között:

Mérések szerint: $M \sim H$, kis terekre: $M = \chi H$

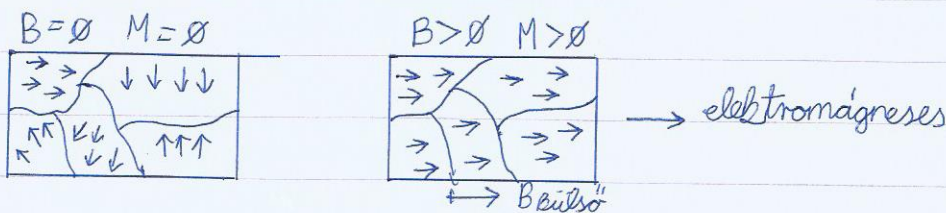
↑
mágneses susceptibilitás (dimenziótlan)

- paramágnes: $\chi > 0$ (kis érték), $\mu_r > 1$
- diamágnes: $\chi < 0$ (kis érték $\sim 10^{-6}, 10^{-5}$), $\mu_r < 1$
- ferromágnes: $\chi > 0$ (nagy érték), $\mu_r \gg 1$

Mágneses permeabilitás: $B_{\text{anyag}} = \mu_0 H + \mu_0 M = \mu_0 (1 + \chi) H$
 $M = \mu_0 \mu_r H$
 Mindenhol μ helyt. $\mu_0 \mu_r$ -re kell cserélni
 relatív permeal.

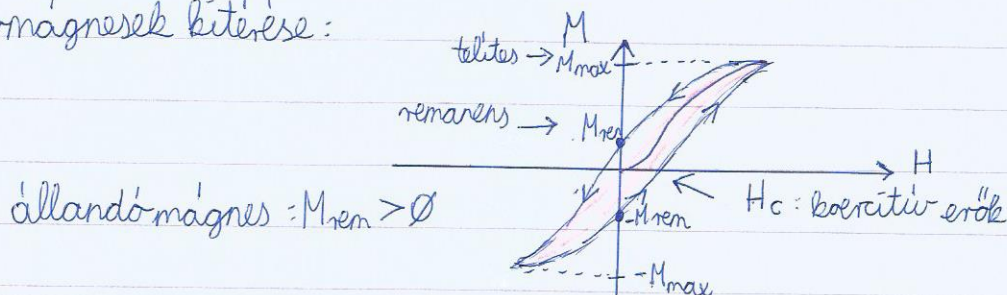
4. Ferromágnesek (nem állandó mágnesek!)

- Atomjaik eredő mágneses momentummal rendelkeznek
- Atomjaik között erős a mágneses kölcsönhatás
- Domén szerkezet:



μ_r tipikusan 1000-es nagyságrendű (de függ a tértől, előéletétől is)

Ferromágnesek kitérése:



5. Megjegyzések:

- a) Mágneses adattárolás: - kazetta, floppy disk
- HDD-GMR-jelenség (giant magnetoresistance)

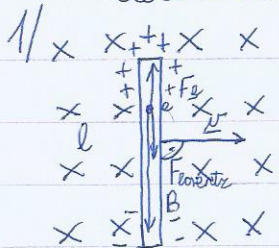
b) Curie-pont: a ferromágnest egy bizonyos T_c (Curie-pont) fölé hevítve paramágnessé (néha diamágnessé) válik



atomok közötti k.h.-t a hőmozgás szétvázza

I. $B(t) = \text{áll.}$ vezető mozog (mozgási indukció)

elektronhiány



Egyensúly esetén:
 $F_{\text{elektromos}} + F_{\text{Lorentz}} = 0$
 $-q_e v \times B + (-q_e) E = 0$
 $E = -v \times B$

↑ szétválasztott töltések által keltett tér

$E_{\text{eff}} = v \times B \leftarrow$ effektív elektromos tér

Vezeték végpontjai közötti feszültség:

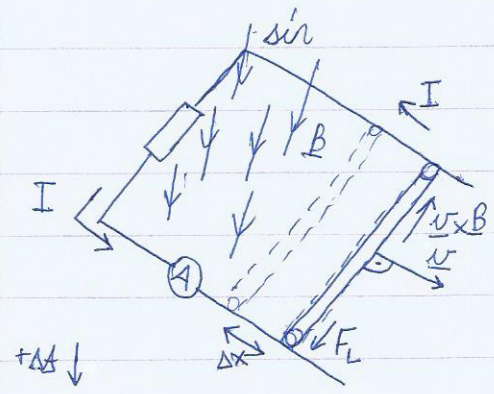
$U = - \int_A^B E \cdot dl = -E \cdot l = E \cdot l = -(v \times B) \cdot l$
 speciális

Elektromos erő (töltésszétválasztó erő):

$\mathcal{E} = U_{\text{eff}} = E_{\text{eff}} \cdot l = (v \times B) \cdot l$ - vegyes szorzat
 vektor · skálár

2/ Feszültség mérése

- Együttmozgó voltmérővel lehetetlen
- Csúszó érintkezővel lehetséges



Elektromos erő:
 $\mathcal{E} = v \cdot l \cdot B$
 $\mathcal{E} = \frac{\Delta x}{\Delta t} \cdot l \cdot B = \frac{B \cdot \Delta A}{\Delta t} = \left| \frac{\Delta \Phi}{\Delta t} \right|$
 előjelesen:
 $\mathcal{E} = - \frac{\Delta \Phi}{\Delta t} = -\dot{\Phi}$

Értelmezés: $\mathcal{E} \approx$ a vezető által elmetezett indukciós vonalak számával

3/ Energiaviszonyok elemzése

Körben folyó áram erőssége $I = \frac{\mathcal{E}}{R} = \frac{B \cdot l \cdot v}{R}$

az ellenálláson fejlődő Joule-hőteljesítménye =

$$P_R = RI^2 = R \frac{B^2 l^2 v^2}{R^2} = \frac{B^2 l^2 v^2}{R}$$

A külső erő mechanikai teljesítménye (energia megmarad)

$$P_{\text{mech}} = F_{\text{külső}} \cdot v = I \cdot l \cdot B \cdot v = \frac{B^2 l^2 v^2}{R}$$

4/ A generátor

váltakozó feszültséget lehet előállítani

Másféleképpen:

$$\Phi(t) = BA \cos(\omega t) \quad \mathcal{E}_{\text{teljes}} = -\frac{d\Phi}{dt} = BA\omega \sin(\omega t)$$

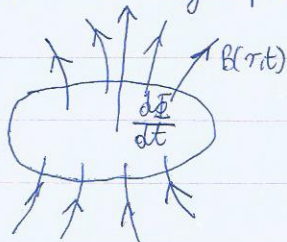
5/ Lenz törvénye

az indukált áram iránya mindig olyan, hogy mágneses hatásával akadályozza az őt létrehozó hatást. (fluxusváltozást)

II. Nyugalmi indukció

1/ Kísérlet: $B(t)$ időben változik, de a vezető nem \rightarrow van indukált feszültség - új jelenség

2/ Faraday-féle indukció-törvény =

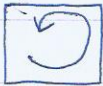


Változik bármilyen okból a vezető által körülfogott mágneses fluxus értéke, akkor a zárt vezetőben feszültség indukálódik, nagysága

$$U_{\mathcal{E}} = -\frac{d\Phi}{dt} \quad \text{arányos a fluxus idő-deriváltjával.}$$

I. Örvényáramok (Eddy-current)

- 1) Wältenhofen-inga (két mágnes között fémlapok)
 a mozgó lapban változik a fluxus; áramok indukálódnak.
 az örvényáramokra ható Lorentz-erő fékezi a mozgást



nagy fékezőerő



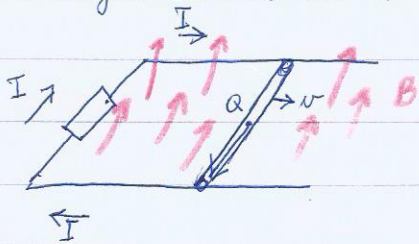
kis fékezőerő

- 2) Réstömbe ejtett mágnes

- 3) - örvényáramos fékezés
 - indukciós főzőlap

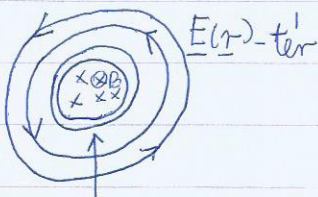
II. a nyugalmi indukció értelmezése

- 1) Mozgási indukció értelmezése



Mozgó vezetőben a szabad töltéshordozókra ható Lorentz-erő okozza az indukált feszültséget / áramot.

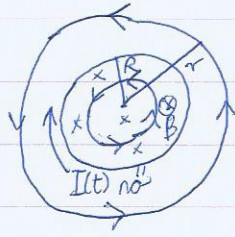
- 2) Nyugalmi indukció



solenoid

- nincs Lorentz-erő
- elektromos mező alakul ki
- új jelenség!

3) Időben változó árammal átjárt szolenoid



Faraday-törvény: $|U_i| = \frac{d\Phi}{dt}$

$U_i =$ egységnyi poz. töltésen végzett munka =
 $= \oint E d\mathbf{l} = \frac{d\Phi}{dt}$

Most: $E(r) \cdot \underbrace{\oint d\mathbf{l}}_{2\pi r} = \frac{d\Phi}{dt} = \frac{d}{dt} (B \cdot A)_{\text{körültekelt}}$

bívül:

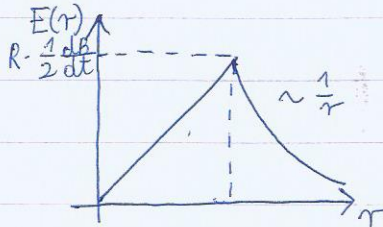
$$E(r) = \frac{1}{2} \frac{dB}{dt} \frac{R^2}{r}$$

($r > R$)

belül:

$$E(r) = \frac{1}{2} \frac{dB}{dt} \cdot r$$

($r < R$)



($\phi + U_i \neq \phi \rightarrow$ nem lehet potenciál)

4) Indukált elektromos ~~áram~~ mező jellemzői

| | |
|--------------------------------|---------------------------------------|
| elektrosztatikus E-tér | indukált E-tér |
| források, forrásai a töltések | forrásmentes |
| örvénymentes | örvényes (E-vonalak önmagukba zártak) |
| konzervatív | nem konzervatív |
| potenciál, potenciális energia | nincs potenciál |
| felváltás az úttól független | felváltás függ az úttól |

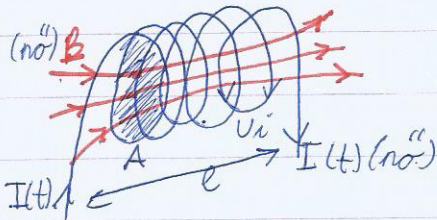
III. Az önindukció

1/ tranyáta vezetöben I változik \rightarrow B változik \rightarrow
 \rightarrow vezetö által körülöfött fluxus (Φ) is változik \rightarrow
 \rightarrow U_i keletkezik

$$U_i = -\frac{d\Phi}{dt} = -L \cdot \frac{dI}{dt}, \quad [L] = \frac{Vs}{A} = H \text{ (henry)}$$

↑
induktivitás, önindukciós tényező

2.1 Solenoid példája



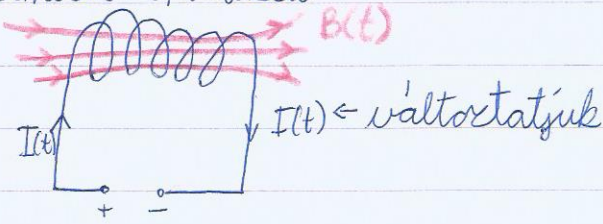
$$B(t) = \mu_0 \cdot \frac{NI(t)}{l}$$

$$U_i = -\frac{d\Phi}{dt} \rightarrow \Phi(t) = N \cdot B(t) \cdot A$$

$$U_i = -\frac{d}{dt} \left(N \cdot \mu_0 \cdot \frac{NI}{l} \cdot A \right) = \underbrace{\left(\mu_0 \cdot \frac{N^2 A}{l} \right)}_L \cdot \frac{dI}{dt}$$

$$L = \mu_0 \frac{N^2 A}{l}$$

Ismétlés: Örindukció

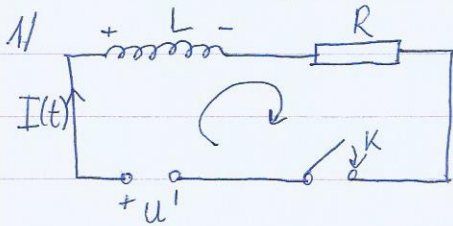


Faraday-törvény:
$$U_i = -\frac{d\Phi}{dt} \quad \left. \begin{array}{l} \\ \Phi_{\text{ saját }} = L \cdot I(t) \end{array} \right\} U_i = -L \frac{dI}{dt}$$

↑
örindukciós tényező

Solenoidra: $L_{\text{ solenoid }} = \mu_0 \frac{N^2 A}{l}$

I. Tehercs bekapcsolása (transziens jelenségek)



II. Kirchhoff-törvény:

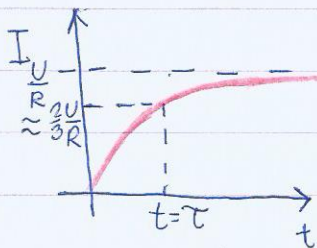
$$(*) \quad U - L \frac{dI}{dt} - RI = 0$$

rendelve:
$$\frac{dI}{dt} = \frac{R}{L} \left(I - \frac{U}{R} \right)$$

új változó: $i = I - \frac{U}{R}, \quad \frac{dI}{dt} = \frac{di}{dt}$

$$\left. \begin{array}{l} \frac{di}{dt} = -\frac{R}{L} \cdot i(t) \Rightarrow i(t) = i_0 \cdot e^{-\frac{R}{L}t} \\ i(t=0) = i_0 = -\frac{U}{R} \end{array} \right\} \left[I(t) = i(t) + \frac{U}{R} = \frac{U}{R} (1 - e^{-\frac{R}{L}t}) \right]$$

2/ Értelmezés



$$I(t) = \frac{U}{R} (1 - e^{-\frac{t}{\tau}}),$$

ahol $\tau = \frac{L}{R}$
 karakterisztikus idő
 (időállando)

- $t \ll \tau$, akkor a tehercs árama ugyanakkora, mint K zárása előtt

- $t \gg \tau$, a tehercs vezetéként viselkedik

ERINNENI! (I nem változhat hirtelen)

II. Mágneses mezőben tárolt energia

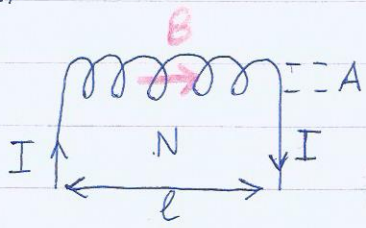
1/

$$(*)\text{-bol: } \underbrace{IU}_{\text{teljesítmény}} = \underbrace{RI^2}_{\text{Joule-hő teljesítmény}} + \underbrace{L \frac{dI}{dt} \cdot I}_{\text{tehercsle "pumpált" energia időegységenként}}$$

teljesítmény \downarrow tehercsle "pumpált" energia időegységenként
Joule-hő teljesítmény

$$\frac{dE_{\text{tehercs}}}{dt} = L \frac{dI}{dt} \cdot I = \frac{d}{dt} \left(\frac{1}{2} LI^2 \right) \Rightarrow \left[E_{\text{tehercs}} = \frac{1}{2} LI^2 \right]$$

2/



$$E_{\text{tehercs}} = \frac{1}{2} \cdot \frac{\mu_0 N^2}{l} \cdot I^2 = \frac{1}{2} \underbrace{\left(\frac{\mu_0 N I}{l} \right)^2}_{B^2} \cdot \underbrace{\frac{1}{\mu_0} \cdot l \cdot A}_{V_{\text{mező}}}$$

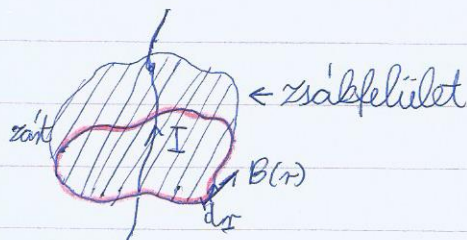
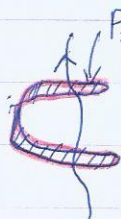
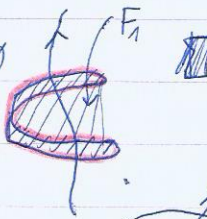
\downarrow
 μ_B = mágneses energiasűrűség

III. Az Ampère-törvény általánosítása

1/ Vákuumban:

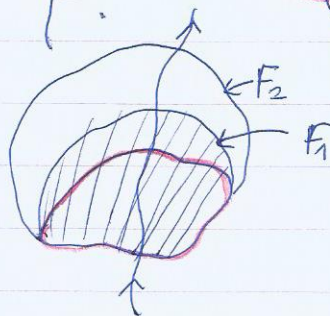
$$\oint \mathbf{B} \cdot d\mathbf{r} = \mu_0 I$$

$$\sum I_{\text{sz}} = 0$$

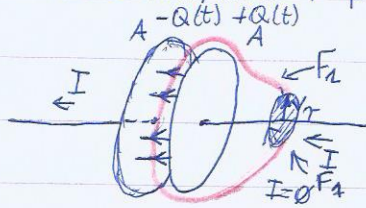


$$\sum I_{\text{sz}} = 0$$

\rightarrow szárfelületet definiálunk



2/ Példa: síkkondenzátor feltöltése



Ampère-törvény:

$$\oint \underline{B} \, d\underline{r} = \underbrace{\mu_0 I}_{F_1} = \underbrace{\mu_0 \epsilon_0 \frac{dQ}{dt}}_{F_2}$$

Kondenzátor vizsgálata:

(1) $\frac{dQ}{dt} = I$, (2) $\dot{E} = \frac{\dot{Q}}{\epsilon_0 A} = \frac{I}{\epsilon_0 A} \rightarrow I = \epsilon_0 \cdot \frac{d}{dt}(E \cdot A) = \epsilon_0 \frac{d\Phi}{dt}$
 el. Gauss-tv.

Ált. Ampère-tv.: $\oint \underline{B} \, d\underline{r} = \mu_0 I + \mu_0 \epsilon_0 \frac{d\Phi}{dt} \rightarrow I_d: \text{"eltolási áram"}$

IV. Összefoglalás: (Maxwell egyenletek)

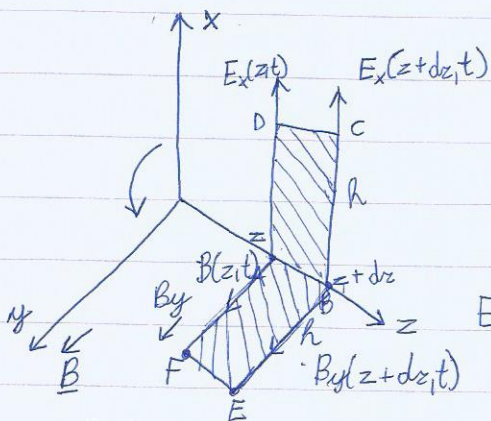
elektromos Gauss-tv.: $\oint \underline{E} \, dA = \frac{1}{\epsilon_0} \cdot Q_{\text{rezáns}}$

mágneses Gauss-tv.: $\oint \underline{B} \, dA = 0 \leftarrow \text{nincs mágn. monopólus}$

Ampère-tv.: $\oint \underline{B} \, d\underline{r} = \mu_0 I + \mu_0 \epsilon_0 \frac{d\Phi}{dt}$

Faraday-tv.: $\oint \underline{E} \, d\underline{r} = -\frac{d\Phi}{dt}$

V. Az elektromágneses hullám (vákuum)



$$\underline{E}(\underline{r}, t) = (E_x(z, t), 0, 0)$$

$$\underline{B}(\underline{r}, t) = (0, B_y(z, t), 0)$$

vákuumban: $I = 0, Q = 0$

Faraday-tv. ABCD-re:

$$E_x(z, t) \cdot h - E_x(z+dz, t) \cdot h = \frac{\partial B_y(z, t)}{\partial t} \cdot h \, dz$$

$$\left[-\frac{\partial E_x}{\partial z} = \frac{\partial B_y}{\partial t} \right] \quad (1)$$

Ampère-tv.:

$$B_y(z+dz, t) \cdot h - B_y(z, t) \cdot h = \mu_0 \epsilon_0 (-\dot{E}_x(z, t) \cdot h \, dz)$$

$$\left[\frac{\partial B_y}{\partial z} = -\mu_0 \epsilon_0 \frac{\partial E_x}{\partial t} \right]$$

$$\left. \begin{aligned} \frac{\partial}{\partial z} (1) - \frac{\partial^2 x}{\partial z^2} &= \frac{\partial^2 B_y}{\partial z \cdot \partial t} \\ \frac{\partial}{\partial t} (2) - \mu_0 \epsilon_0 \frac{\partial^2 E_x}{\partial t^2} &= \frac{\partial^2 B_y}{\partial t \partial z} \end{aligned} \right\} \text{Young-tétel}$$

$$\text{Hullámegyenlet: } \left[\frac{\partial^2 E_x}{\partial z^2} = \mu_0 \epsilon_0 \frac{\partial^2 E_x}{\partial t^2} \right]$$

$$\left[\frac{\partial^2 B_y}{\partial z^2} = \mu_0 \epsilon_0 \frac{\partial^2 B_y}{\partial t^2} \right]$$

2) A hullámegyenlet haladó síkhullám-megoldása:

$$\text{próbamegoldás: } E_x(z, t) = E_0 \cos(kz \pm \omega t)$$

$$\frac{\partial^2 E_x}{\partial z^2} = -E_0 k^2 \cos(kz \pm \omega t) \quad \frac{\partial^2 E_x}{\partial t^2} = -E_0 (\pm \omega)^2 \cos(kz \pm \omega t)$$

$$\text{Hullámegyenlet: } k^2 = \mu_0 \epsilon_0 \omega^2$$

$$\uparrow$$

$$\text{relatívum: } \frac{1}{c^2}$$

$$c = 3 \cdot 10^8 \frac{\text{m}}{\text{s}}$$

I. Ismétlés: haladó EM síkhullám

1/

$$\text{Hullámegyenlet: } \frac{\partial^2 E_x}{\partial z^2} = \mu_0 \epsilon_0 \frac{\partial^2 E_x}{\partial t^2}$$

$$\begin{aligned} E_x(z,t) &= E_0 \cos(kz \pm \omega t) \\ B_y(z,t) &= B_0 \cos(kz \pm \omega t) \end{aligned} \quad \left. \begin{array}{l} \text{Haladó síkhullám, megoldás} \\ \text{fázis} \end{array} \right\} \quad (\text{kép})$$

2/ Miért "síkhullám"? ↑ hullámfrontok sík

Hullámfront: azonos fázisú (térfösségű) pontokra illeszkedő felület

3/ a) térbeli periódus: $E_x(z+\lambda, t) = E_x(z, t)$

$$\cos(kz + k\lambda \pm \omega t) = \cos(kz \pm \omega t)$$

 k : hullámszám

$$k\lambda = 2\pi \rightarrow \lambda = \frac{2\pi}{k} \quad (\text{hullámhossz})$$

b) Időbeli periódus: $E_x(z, t+T) = E_x(z, t)$

$$\omega T = 2\pi$$

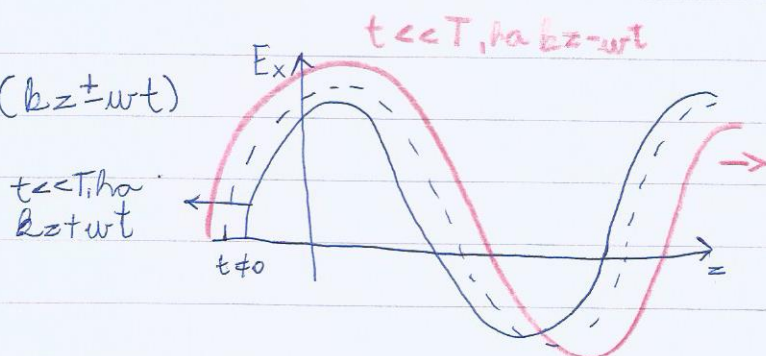
$$\text{Körfrekvencia} \\ \omega = \frac{2\pi}{T}$$

$$\text{Periódusidő} \\ T = \frac{2\pi}{\omega}$$

c) frekvencia: $f = \frac{1}{T} = \frac{\omega}{2\pi}$, $[f] = \text{Hz (Hertz)}$

d) terjedési irány:

$$E_x(z,t) = E_0 \cos(kz \pm \omega t)$$



e) terjedési sebesség:

$$c = \frac{\lambda}{T} = \frac{\frac{2\pi}{k}}{\frac{2\pi}{\omega}} = \frac{\omega}{k}$$

előző óra: $k^2 = \mu_0 \epsilon_0 \omega^2$

vákuumban: $c = \sqrt{\frac{1}{\mu_0 \epsilon_0}} = 2,998 \cdot 10^8 \frac{m}{s}$

anyagban (szigetelő): $c' = \frac{1}{\sqrt{\mu_0 \mu_r \epsilon_0 \epsilon_r}} = \frac{c}{\sqrt{\mu_r \epsilon_r}} = \frac{c}{n}$
 törésmutató

f) Kapcsolat E és B között

$$\frac{\partial E_x}{\partial z} = -\frac{\partial B_y}{\partial t}$$

$$-E_0 k \sin(kz \pm \omega t) = \mp B_0 \omega \sin(kz \pm \omega t) \Rightarrow [E_0 = \pm B_0 c]$$

II. az energia terjedése EM hullámban

1) Energiasűrűség:

$$\text{elektromos: } w_E = \frac{1}{2} \epsilon_0 E_x^2(z,t) = \frac{1}{2} \epsilon_0 E_0^2 \cos^2(kz \pm \omega t)$$

$$\text{mágneses: } w_B = \frac{1}{2\mu_0} B_y^2(z,t) = \frac{1}{2\mu_0} B_0^2 \cos^2(kz \pm \omega t)$$

$$\text{teljes: } W = w_E + w_B = \cos^2(kz \pm \omega t) \frac{1}{2} \epsilon_0 \left(E_0^2 + \frac{1}{\mu_0 \epsilon_0} B_0^2 \right)$$

$$[W = \epsilon_0 E_0^2 \cos^2(kz \pm \omega t)]$$

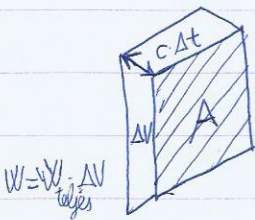
2) Poynting-vektor

$$S = \frac{1}{\mu_0} \underline{E} \times \underline{B} \text{ (definíció)}$$

$$|S| = \frac{1}{\mu_0} |E| |B| \sin 90^\circ = \frac{1}{\mu_0} E_0 B_0 \cos^2(kz \pm \omega t)$$

$$|S| = \sqrt{\frac{\epsilon_0}{\mu_0}} E_0 \cdot E_0 \cos^2(kz \pm \omega t) = \underbrace{\frac{1}{\mu_0 \epsilon_0}}_c \cdot \underbrace{E_0 \cdot E_0}_{W_{\text{teljes}}} \cos^2(kz \pm \omega t)$$

$$[|S| = c \cdot W_{\text{teljes}}]$$



átáramlott energia:
 $W = W_{teljes} \cdot A \cdot c \cdot \Delta t$

3/ Intenzitás:

a)

$I :=$ egységnyi, merőleges felületre beeső teljesítmény időátlaga

$$I = \langle |S| \rangle = c \cdot \epsilon_0 E_0^2 \langle \cos^2(kz \pm \omega t) \rangle = c \epsilon_0 E_0^2 \langle \frac{1}{2} + \frac{1}{2} \cos(2kz \pm 2\omega t) \rangle$$

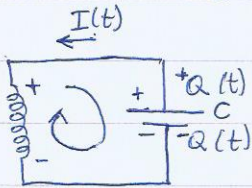
↑
időátlag

$$I = \frac{1}{2} \epsilon_0 E_0^2 c = \frac{1}{2} \sqrt{\frac{\epsilon_0}{\mu_0}} E_0^2$$

b) Megjegyzés: az EM hullám impulzust is szállít,
 impulzus - áramsűrűség = $\frac{S}{c}$

III. EM hullámok beltése:

1/



Kirchhoff: $U_c + U_L = 0$

$$\frac{Q(t)}{C} - L \frac{dI}{dt} = 0 \quad (1)$$

$$\left(\frac{dQ}{dt} = -I \quad (2) \rightarrow \frac{d^2Q}{dt^2} = -\frac{dI}{dt} \right)$$

$$\rightarrow \frac{Q}{C} + L \frac{d^2Q}{dt^2} = 0$$

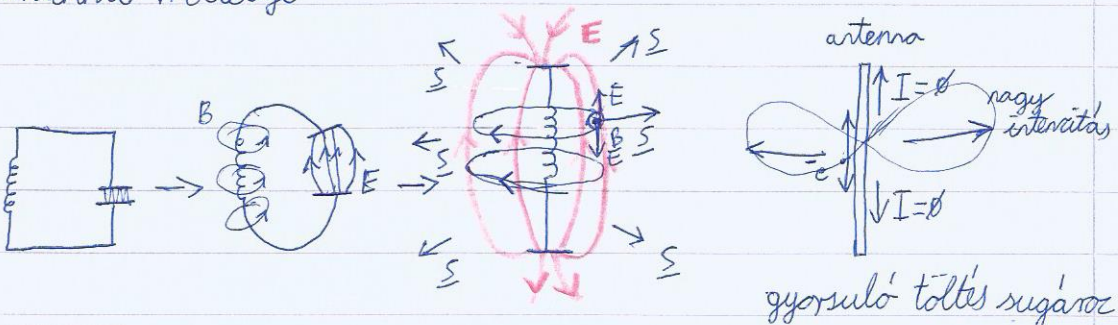
harmonikus rezgés

$$\left[\frac{d^2Q}{dt^2} = -\frac{1}{LC} \cdot Q(t) \right] \leftrightarrow \frac{d^2x}{dt^2} = -\frac{D}{m} x(t)$$

$$x(t) = A \cos(\omega t + \phi_0), \text{ ahol } \omega = \sqrt{\frac{D}{m}}$$

Megoldás: $Q(t) = Q_{max} \cdot \cos(\omega t + \phi_0)$, ahol $\omega = \frac{1}{\sqrt{LC}}$

2/ Antenna modellje:



I. Polarizáció:

1/ Iránya: EMH-ban az elektromos térerősség rezgésének iránya.

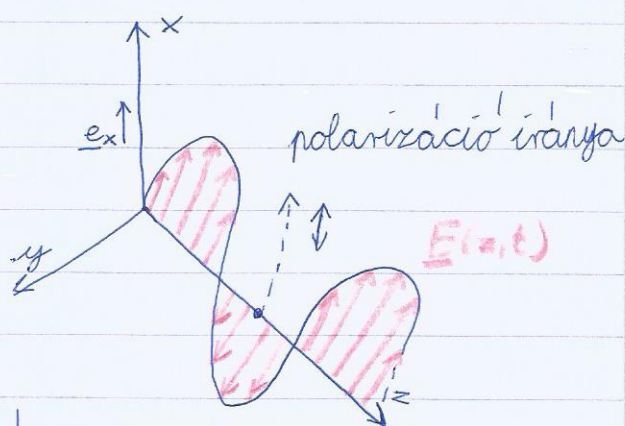
2/

a) Polarizálatlan ("keverék")

b) Lineáris polarizáció

E -vektor végpontja egy adott z -nél egyenes y pályán mozog.

$$E(t) = E_0 \underline{e}_x \cos(\omega t)$$

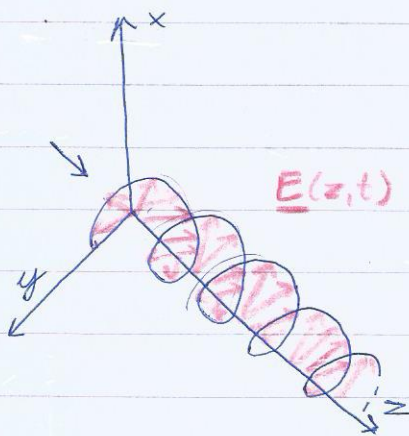


c) Cirkuláris polarizáció

- tz E vektor végpontja adott z esetén körpályán mozog.

$$E(t) = E_0 \underline{e}_x \cos(\omega t) + E_0 \underline{e}_y \sin(\omega t)$$

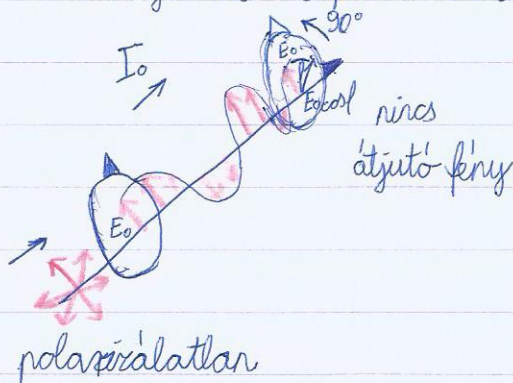
- Két (\underline{e}_x és \underline{e}_y irányban) lineárisan polarizált hullám eredője 90° -os fáziskülönbséggel.




 "jobbkeres" fény
 "balberes" fény

3. Polarizátorok (polárszűrők)

- Csak egy bizonyos irányú térerősségkomponenst engednek át
- Merőleges állású polárszűrőkön nem jut át a fény.



$$E_{\text{átjutó}} = E_0 \cos \varphi$$

$$I_{\text{átjutó}} \sim E_{\text{átjutó}}^2$$

$$I_{\text{átjutó}} = I_0 \cos^2 \varphi$$

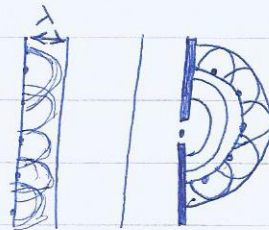
Malus-törvény

II Diffrakció (elhajlás)

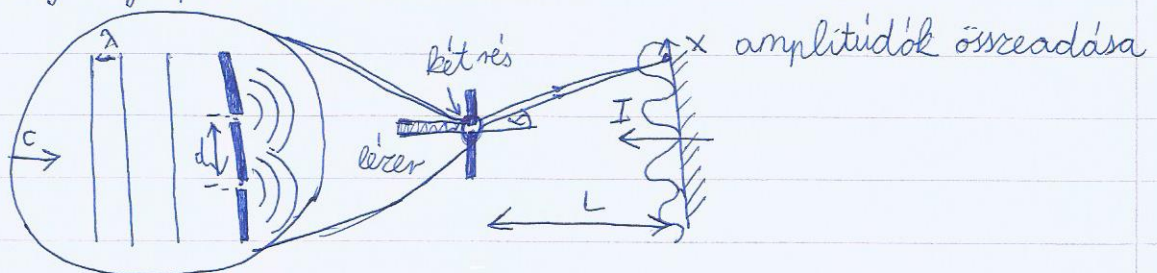
- Akadályok között elhaladó hullámok tovaterjedése.
- Nem azonos a geometriai árnyékkal!

Huygens-Fresnel-elv:

λ hullámter minden pontja egy-egy elemi, gömbhullámokat kibocsátó forrásként viselkedik. Ezen gömbhullámok interferenciája adja a tovaterjedő hullámfrontot.



A/ Young-féle kettősrés ($a \ll d$)



$$x = L \tan \varphi \approx L \varphi$$

$$x \approx L \sin \varphi$$

Hullámok amplitúdója: Ψ (skalár)

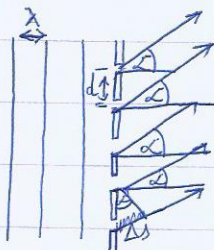
Két hullám útkülönbsége: $\Delta s = d \sin \alpha$

fáziskülönbség: $\Delta \varphi = 2\pi \frac{\Delta s}{\lambda}$

Erősítés feltétele: $\Delta \varphi = 2\pi m, m \in \mathbb{Z}$
 $\left[\sin \alpha_m = m \frac{\lambda}{d} \right]$ (erősítés)

Gyengítés feltétele: $\Delta \varphi = \pi(2m+1)$
 $\left[\sin \alpha_m = (m + \frac{1}{2}) \frac{\lambda}{d} \right]$ (gyengítés)

2/ optikai rács ("végtelen" sok rés)

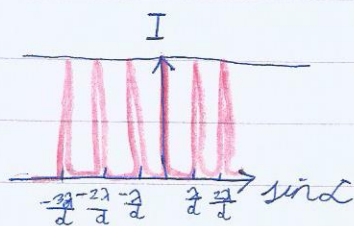


Két szomszédos résből jövő hullám

útkülönbsége: $\Delta s = d \sin \alpha$

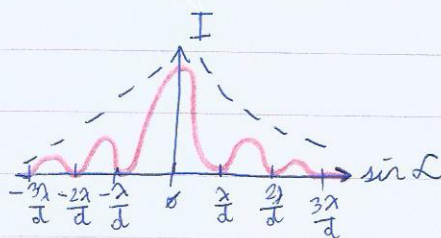
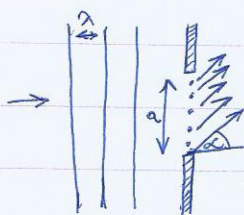
erősítés feltétele: $\Delta s = m \lambda (m \in \mathbb{Z})$

$\left[\sin \alpha_m = m \cdot \frac{\lambda}{d} \right]$ ← intenzitásmaximumok



$m =$ elhajlás rendje

3/ Egyszerű rés



← I. minimumok

kioltási helyek: $\left[\sin \alpha_m = m \frac{\lambda}{d} \right]$ $m \neq 0$
 $m \in \mathbb{Z}$